Э.А. Еганов



## ФОСФОРИТО-ОБРАЗОВАНИЕ И СТРОМАТОЛИТЫ



НОВОСИБИРСК 1988

### ACADEMY OF SCIENCES OF THE USSR SIBERIAN DIVISION INSTITUTE OF GEOLOGY AND GEOPHYSICS

## E.A. Eganov

# PHOSPHATE DEPOSITION AND STROMATOLITES

Responsible editor E.M. Khabarov



### АКАДЕМИЯ НАУК СССР СИБИРСКОЕ ОТДЕЛЕНИЕ ИНСТИТУТ ГЕОЛОГИИ И ГЕОФИЗИКИ

### Э.А. Еганов

# ФОСФОРИТООБРАЗОВАНИЕ И СТРОМАТОЛИТЫ

Ответственный редактор Е.М. Хабаров

УЛК 553.643+552.55+552.544

Еганов Э.А. Фосфоритообразование и строматолиты / АН СССР, Сиб. отд-ние, Ин-т геологих и геофизики. Отв. ред. Е.М.Хабаров.- Новосибирск, 1988. 89-c.

Впервые для нижнекембрийского фосфоритоносного бассейна Каратау (Казахстан) описаны разнообразые фосфатные и кремнистые фитолиты, среди которых наиболее распространены стратиформные формы, а также сферические — онколиты. Их изучение привело к распознаванию аналогичных форм в древних (кембрийских) фосфоритах Алтае—Саянского и Хубсугульского фосфоритоносных бассейнов. Обсуждается роль фитолитообразующих факторов в генезисе фосфоритов.

Для геологов и литологов, в частности, работающих в области кремне- и фосфоритообразования, строматолитообразования, осадочного рудогенеза, а также литогенеза в целом.

### Рецензенты

М.С.Якшин (Ин-т геологии и геофизики СО АН СССР), Э.Л.Школьник (Дальневосточный геологический ин-т ДВО АН СССР)

#### І. ПОСТАНОВКА ВОПРОСА

Представления о механизме и обстановке образования фосфатных пород, в которых фосфат слагает тонко- или скрытокристаллические (афанитовые) массы в виде комков. зерен (пеллет) или целых слоев, являются до настоящего времени дискуссионными. Структура подобных фосфоритов с момента появления работ А.В.Казакова /19/ чаще всего приводила к точке зрения об их ортохимическом чисто хемогенном происхождении. Зерна афанитового фосфата CO следами окатывания и переноса считаются обычно фрагментами. торгнутыми от однородных хемогенных слоев. и называются аллохемами или рассматриваются как продукт стяжения рассеянного фосфата - микроконкреции, хемогенные сгустки /33, с.87/. В ряде случаев зерна обрастают оболочками из тонкокристаллического фосфата, превращаясь в оолиты и пизолиты, которые тоже считаются продуктами химического выпадения фосфора из морских наддонных и иловых вод.

Помимо представлений о чисто хемогенном образовании афанитовых фосфатных масс различного размера и форм — зерен, слойков, и целых пластов — существуют идеи о диагенетическом переходе фосфата в илах из органических остатков в конкреции /2, с.206; 5, с.175/, о диагенетическом замещении карбонатных слойков и зерен /8, 51/ или карбонатного осадка фосфатом придонных вод /43, 49/. Замещаемыми компонентами илов могут быть так или иначе обогащенные органикой участки: фрагменты скелетов и тел животных и растительных организмов, фекалии и прочие органические выделения, колонии и другие разнообразные скопления микроорганизмов и т.п.

Современные литологические исследования дна морей и океанов позволили Г.В.Батурину сделать вывод, что "ни в водах, ни во взвесях зон современного фосфоритообразования, как и в океане в целом, хемогенный фосфат кальция не обнаружен" /2, с.177/. Имеются в виду только наддонные воды. Г.В.Батурин заключает, что

фосфат выпадает не из наддонных, а из пересыщенных им поровых вод, осаждаясь на материале материнских вмещающих илов самого разнообразного вида, проявляя при этом существенную "неразборчивость" по отношению к составу субстрата своего осаждения /там же, с.178/. В целом, сопоставление информации о субсовременном фосфатообразовании приводит к заключению, что основным реальным механизмом минерализации фосфатов морских вод является "биогенно-диагенетический", когда биос доставляет фосфат в ил и, разлагаясь там, насыщает фосфором иловые воды, после чего фосфат выпадает в порах осадка и диагенетически перераспределяется, а затем, механически отмываясь, концентрируется /2, с.206-210/.

Сказанное как будто бы соответствует созданным схемам строения древних месторождений пластовых афанитовых, микрозернистых и зернистых фосфоритов и принимается с высокой степенью правдоподобности.

Вместе с тем, исследователей всегда смущала неустойчивость корреляции между количеством органики и фосфатов в породах. Казалось бы, что если именно органика транспортирует фосфат в осадок и там отдает его поровым водам, то следует ждать математически постоянной (хотя бы локально) пропорциональности между количествами диагенетически выпавшего фосфата и остаточного углерода в неизмененных породах. Однако, хотя фосфатные породы всегда первично обогащены  $C_{
m ODE}$ , такой пропорциональности не наблодается, даже если принимать во внимание разнообразные возможные случайности или дифференциальную способность фосфатов к коплению в различных видах органики. Ареал углеродности по видам органики значительно шире, он вмещает ареал фосфатонакопления. Толщи с высоким, но равномерно распределенным содержанием органического материала, например черносланцевые формации, правило, содержат лишь рассеянные фосфатные образования -ЛИНзочки, конкреции, участки повышенной фосфатности пород, но вмещают существенных залежей первичных фосфоритов. Последние ассоциируют с такими насьщенными органикой толщами лишь будучи пространственно разделенными: подстилая или покрывая, а замещая их по простиранию в сторону береговой линии палеобассейнов. Видимо, одно лишь обогащение осадков органикой не является достаточным фактором для возникновения фосфатных залежей.

Где же может осуществляться основная минерализация фосфата и как? Примеры непосредственной связи морских организмов и фосфатонакопления в существенном масштабе немногочисленны. Это прежде всего скопления раковин, построенных из фосфата кальция, биохимически извлекаемого некоторыми организмами из морской воды. Другой пример — месторождения фосфатных строматолитов. Связь органического вещества из отмерших микроорганизмов с фосфатонакопительными процессами в строматолитах не столь пряма, как в случае с образованием фосфатных раковин. Тем не менее, очевидно, что известковые строматолитовые постройки формируются при непосредственном, хотя и пассивном участии скоплений микроорганизмов, создающих локальные условия для осаждения растворенных в воде карбонатов, которые затем ими (скоплениями) и улавливаются вместе с механическими примесями, формируя минеральную основу строматолитовых построек. Аналогичный процесс возможен и для фосфатов.

0 роли этого способа минерализации фосфатов и пойдет речь.

### 2. NEBECTHLE POCPATHLE CTPOMATOJINTH N NX TEOJIOTNEPCKAR HOSNINA

Долгое время строматолитовые фосфориты считались уникальными и редкими образованиями. Впервые они были описаны в составе пластовых "водорослевых" фосфоритов месторождения Белка в Горной Шории (Сибирь), открытых в 1958 г. и залегающих в предкембрийской карбонатной свите. В этих фосфоритах были установлены включения нитей и клеток водорослей. Уже первые описания /32, с. 51/обращали внимание на прихотливый текстурный узор фосфатного вещества, на дендритовые формы его с цепочечным строением — клетки. Более детально изучившие структуру и формы залегания горношорских строматолитовых фосфоритов Р.К.Пауль и Н.А.Красильникова /24, 53/ выделили "столбчатые", "желваковые", "микро-" и "макропластовые" их разновидности. По отношению фосфатных и нефосфатных частей строматолитов эти исследователи установили, что фосфатное вещество замещало карбонатные строматолитовые постройки,

по-видимому, в стадию диагенеза. В горношорских фосфоритах фосфатное вещество, часто непрозрачное от примеси органики, слагает округлые зерна, онколиты — целиком или отдельные их оболочки, причудливой формы оторочки вокруг карбонатных обломков. П л а стовы е фосфатные строматолиты представляют собой согласные с нашластованием вмещающих карбонатных пород слойки черного афанитового фосфата протяженностью в первые метры, толщиной от 0,5 до 5 см. М и к р о п л а с т о в ы е — это линзовидно-неправильно-волнистые субпараллельные слойки-ленты фосфата 0,2-І мм толщиной. Наблюдается также множество переходных форм фосфатных выделений строматолитовой текстуры /24/.

Вторым районом, где были установлены строматолитовые фосфориты, стала Индия, штат Раджасткан. Их открыли через 9 лет после горношорских — в 1967 г. /56/ в раннепротерозойской Араваллийской супергруппе (впрочем, возраст ее дискуссионен и датируется от раннего протерозоя по рифей). Но и с открытием индийских строматолитовых фосфоритов они считались все еще настолько уникальным объектом, что известный американский исследователь фосфоритоносных формаций Р.Шелдон оценил открытие араваллийских строматолитовых фосфоритов как "совершенную неожиданность" /64/.

В Араваллийской супергруппе доминируют столочатые фосфатные строматолиты, залегающие в карбонатной части ее разреза, но имеются также афанитовые тонкослоистые и массивно-слоистые фосфориты /І, с.247/. Установлено, что фосфатные строматолитовые бики, разделенные нефосфатным карбонатным матриксом, слагаются, как и горношорские строматолитовые фосфориты, чередованием карбонат-фосфатных и кремнистых слойков. Это, по мнению авторов, возможно, отражает суточные колебания фиксации карбонатного минерального вещества в постройках. Как и в Горной Шории, горизонт с фосфатными строматолитами подстилается горизонтом с карбонатными строматолитами. Как и в Горной Шории, здесь тоже присутствуют морфологически выраженные фосфатные строматолитовые стройки, а также их интракласты и "пластовые" фосфориты, гающие на столбчато-строматолитовые. Эти "пластовые" фосфориты состоят из тонконаслоенных (ламинитовых) афанитовых фосфатов, местами из крошева мелких угловатых и полуугловатых фрагментов фосфатных строматолитовых слойков, заключенных в карбонатном матриксе, ориентированных и субпослойно, и случайно. Подобные

фосфориты могут рассматриваться как фосфатизированные ненарушенные или нарушенные водорослевые маты /62, с.II/.

Все исследователи араваллийских фосфоритов отмечали абсолютную избирательную приуроченность фосфата к строматолитовым постройкам. Между строматолитовыми столбиками в карбонатном матриксе фиксируется только переотложенний фосфатный материал, представленный фосфатными пеллетами и угловатыми обломками фосфатных слоевищ строматолитов /44/.

Третьим районом широкого развития строматолитовых фосфоритов являются Низкие Гималаи (Индия, штат Уттар-Прадеш). Здесь в формации Тал, сложенной карбонатами, кремнями и черными известковыми глинистыми сланцами, выявлены пластовые фосфориты /58/. Возраст формации длительное время определялся (косвенным образом — по соотношению с меловыми слоями) как позднепалеозойский. Появившиеся позднее палеонтологические данные позволили определить его как поздний докембрий.

Пластовые фосфориты формации Тал — афанитовые, тонкокристаллические. По А.Д.Ахлувалия (дис. на соиск. ученой степени д-ра философии, Чандигархский ун-т, 1980), здесь выделяются следующие типы фосфоритов: тонкослоистые кремневидные, пеллетовые, линзообразные, нодулярные, пизолито-онколитовые и строматолитовые. В статье /42/ им приводится описание водорослевых текстур и столочатых строматолитовых форм в фосфоритах, а также включений микрофоссилий, фосфатных обломков строматолитовых ламин (насло-ев).

Межкупольное пространство талских строматолитовых фосфоритов заполнено тоже афанитовым фосфатом, в отличие от араваллийских фосфатных строматолитов, где фосфатные столойки погружены в чистый карбонат. Карбонатные прослои с фосфатными кластами и пеллетами в формации Тал разделяют не столойки, а пластовые фитолиты /70, фиг. I/, чередуясь с ними.

В тех же Кумаонских Гималаях, на другом участке (район г.Питорагарх, штат Уттар-Прадеш), описаны частично фосфатизированные карбонатные биогермы в доломитистых известняках верхов формации Ганголиат позднего докембрия. Распределение фосфата в строматолитовых постройках и присутствие фосфатизированных дериватов последних интерпретируется как то, что фосфатизация здесь происходила субсинхронно формированию построек /69/.

Впоследствии стали поступать сообщения об обнаружении строматолитовых фосфоритов и в других регионах: в подфосфоритовом доломите Торнтония среднекембрийского бассейна Джорджина, Австралия /66/; в докембрии Непала /45/; в синийских и нижнекембрийских фосфатоносных формациях КНР /27, 54, 55, 7I-75 и др./; в позднедокембрийско-нижнекембрийском Харанурском месторождении в Восточном Саяне (СССР). Изучение фосфатных ооидов, т.е. округлых зерен с оболочкой и онкоидов (зерен с неровной округлостью) показало, что они могут формироваться в микробиальных матах и грибницах, что касается и межзернового фосфатного матрикса /50, 65/. Наконец, экспериментами Ж.Лука и Л.Прево было показано, что осаждение апатита из морской воды стимулируется именно присутствием бактерий /26/, причем возникающие в полостях карбонатных раковинок пальцеобразные наросты фосфата развиваются по колониям водорослей.

На основе сказанного резюмируем, что к настоящему времени накоплены данные, позволяющие считать скопления бактериально-водорослевого материала в ряде случаев необходимой основой для последующего процесса минерализации фосфата.

Возникает вопрос, каковы масштабы распространения фосфоритов, связанных со строматолитовыми постройками? Брешь в концепции об уникальности фосфатных строматолитов была пробита описаниями строматолитовой природы определенной части пластовых фосфоритов крупных китайских месторождений /55, 7I-75/, выводами о фитогенной основе оболочек зерен некоторых зернистых фосфоритов Африкано-Аравийской фосфоритоносной провинции /50, 65/. Но оставались еще огромные поля распространения микрозернистых фосфоритов бассейнов Фосфория (пермь, США), Каратау (нижний кембрий,Казахстан), Джорджины, афанитовых пластовых фосфоритов нижнего кембрия Окино-Хубсугульского бассейна (МНР, СССР), Алтае-Саянского бассейна в Сибири и других.

Как представляется, существенный прогресс при изучении фосфоритообразования могло бы стимулировать установление фитолитовой природы также и фосфоритов бассейна Каратау, где до сих пор строматолитовые фосфориты вообще не описывались, а Каратауский микрозернистый тип руд ничего общего со строматолитовыми фосфоритами как будто бы не имел. Именно этот факт нам удалось установить в 1983—1984 гг.

### 3. ΦΟΟΦΑΤΉΙΕ Ν ΚΡΕΜΗΝΟΤΉΕ CTPOMATOJINTOΒΗΕ ΠΟCΤΡΟЙΚИ ΦΟΟΦΟΡΝΤΟΗΟCΗΟΓΟ БАССЕЙНА ΚΑΡΑΤΑΥ

Микрозернистый тип руд является основным для бассейна Каратау, как и в ряде других древних фосфоритоносных бассейнов (например. Фосфория. Джорджина. Янцзы и др.). Основными структурными элементами фосфорита, называемого микрозернистым. ABJAются зерна псаммитовой размерности округлой или округло-угловатой (реже угловатой) формы. Часть этих зерен - покрытые: MMenor одну или несколько оторочек из тонкокристаллического фосфата и тогда они называются оолитами или ооидами. Другая часть фосфатных частиц оболочек не имеет - это просто округлые зерна или пеллетн. Такие структурные элементы находятся в различных соотношениях, агрегируясь и дополняясь фосфатными dparментами биоса, обломками фосфоритов предыдущих генераций и фосфатных пород. Все это погружено в связующую массу карбонатного. глинистого. кремнистого и фосфатного составов, которые могут комбинироваться. Наряду с микрозернистыми фосфоритами в Каратау описаны также "неясно зернистые" - сплошная криптокристаллическая фосфатная масса иногда стустковой микроструктуры.

Выделяется 8 видов фосфоритов /34, с.135-153/: 1) неяснозернистые, 2) зернистые, 3) оолитово-зернистые, 4) зернистопсаммитовые (с примесью песчинок нефосфатного состава), 5) органогенно-псаммитовые, 6) неравномерно-псаммитовые, 7) пизолитовые, 8) фосфоритовые гравелиты и конгломераты. И во всех этих видах фосфоритов различаются три комбинирующихся элементарных вида фосфатного материала: 1) афанитовый (криптокристаллический) фосфат, слагающий слойки, зерна, ядра оолитов, а также цемент;

2) тонкокристаллический фосфат, слагающий оболочки оолитов и пизолитов, корки-слойки; 3) фосфатный (фосфатизированный) биодетрит.

Происхождение фосфатных оолитов и пеллет (не только в Каратау) определялось по-разному. Их считали продуктом "собирательной кристаллизации фосфатного вещества в осадке" /34, с.36/; микроконкрециями /3I, с.63/, т.е. стяжениями химически осажденного рассеянного в осадке фосфата; фосфатизированными копролитами /5, с.171/; фосфатизированными первично карбонатными пеллетами /5I, с.54; 7, с.151/; продуктами постседиментационного мета-

соматического разъединения сплошной массы афанитовых фосфоритов на гранулы /10, с.78; I5, с.II9/; первично мягкими выделениями организмов — фекалиями /29, с.60/.

Слои же афанитового фосфата — микросфорита, многими /см.5, гл.Ш/ определялись как результат химического осаждения фосфата в спокойной воде (см. также работы, имеющие непосредственное отношение к данной: /29, с.135; 14, с.101; 15, с.119/). А.В.Ильин обращает внимание на то, что среди зернистых и микрозернистых фосфоритов широко развиты также бесструктурные — афанитовые, т.е. микросфориты. Принимая во внимание влияние дифференциации бесструктурного фосфата на округлые зерноподобные сгустки и возможности механической дезинтеграции таких слойков на песчинки—зерна, он приходит к выводу о том, что "... фосфатные зерна, лишенные внутренней структуры, вероятно, могут возникать из бесструктурных прослоев фосфата ... В целом, — заключает А.В.Ильин, — природа фосфатных зерен остается еще одной из трудных загадок фосфатной геологии" /15, с.119/.

Существует и другая точка зрения на генезис афанитовых фосфатных слойков и пеллет: начиная с работ Г.И.Бушинского /5/ возникла концешция, согласно которой фосфат не может осаждаться из морских вод чисто химически (если и выпадает, то не может скапливаться), а минерализуется внутри осадков в процессе диагенеза с участием биохимических процессов. Применительно к фосфоритам Хубсугульского бассейна к такому выводу пришли Б.Г.Гуревич и А.Ф.Георгиевский /8/. Затем вышли публикации Э.Л.Школьника и др. /39-41/, где обращалось внимание на противоречия между данными о составе и строении фосфоритов Хубсугульского и Удско-Шантарского бассейнов, а также месторождений КНР и концепцией хемоседиментации; на данные в пользу происхождения этих фосфоритов за счет диагенеза существенно органогенных илов.

Таким образом, первооснова микрозернистых и сплошных афанитовых (микросфоритовых) фосфоритов по аналогии с генезисом современных фосфатных конкреций усматривается или в чисто химическом осаждении фосфата, или в процессе фосфатизации тех или иных компонентов морских осадков — копролитов, биодетрита, онкоидов, комочков насыщенного органикой ила. Выявление строматолитовых фосфоритов прибавило к перечню фосфатизируемых органогенных объектов бактериально-водорослевые постройки. Однако относительная

редкость таких находок формировала, как сказано, мнение об уникальности фосфатных строматолитов. На этом фоне обнаружение строматолитовых фосфоритов в слоях фосфоритоносной свиты Каратауского бассейна оказалось довольно неожиданным.

Напомним вкратце строение разреза каратауской фосфоритоносной формации, соответствующей чулактауской свите, нижний кембрий. Фосфоритоносные отложения Каратау несогласно залегают на подстиларцем рифей-вендском комплексе, начинаясь вендской (?) базальной пестроцветной (первично черноцветной) карбонатно-терригенной кыршабактинской свитой (КШС) мощностью от I-2 м до десятков метров. Залегающая согласно выше чулактауская свита повсеместно начинается пачкой "нижних" доломитов (НД) - до IO м. На НД залегает "кремневый горизонт" (КГ) - пластовые кремни - до 20 м. Далее вверх следуют: нижняя фосфоритовая пачка (НФ) -10 м; фосфоритоносная глинисто-кремнисто-сланцевая пачка (CII) - до 35 м; верхняя фосфоритовая пачка (BФ) - до 20 м; марганцевий" доломитовий горизонт (ЖМГ) - до 2 м; "бурий доломит" (БД) - окремненний песчанистый, местами фосфатный доломит -I-8 м. Детально о разрезе Каратау см., например, в /7, I2, 3I, 33-35/.

Фосфорити встречаются по всему разрезу киршабактинской и чулактауской свит, начиная с самых нижних слоев КПС. При этом было замечено, что в базальной карбонатно-терригенной КПС и в НД преобладают фосфорити афанитового типа, залегающие маломощными слойками, фрагменти которых образуют плоскообломочные брекчии между биогермами в карбонатных пластах (табл.І, фиг.І). Лишь на уровне верхов КТ появляются в заметном количестве микрозернистые фосфорити в виде самостоятельных слоев. Выше следуют в основном микрозернистые типы фосфоритов. А в ЕМГ и БД снова ведущая роль среди фосфоритов переходит к афанитовым прослоям.

Первые находки строматолитовых фосфоритов в бассейне Каратау были сделаны на площади месторождения Тьесай $^{34}$ , в самых верхах (последний метр) НД, где между отдельными слоями доломита

<sup>\*</sup> Обзорная карта расположения месторождений бассейна Каратау их названиями имеется во всех основных публикациях по геологии бассейна /см., например, I2, 33/.

располагаются типичные изолированные куполовидные строматолитовые постройки, сложенные темными афанитовыми фосфатными слойками. Размер куполов в сечениях до IO х IO см (рис.I). Купола перехо-

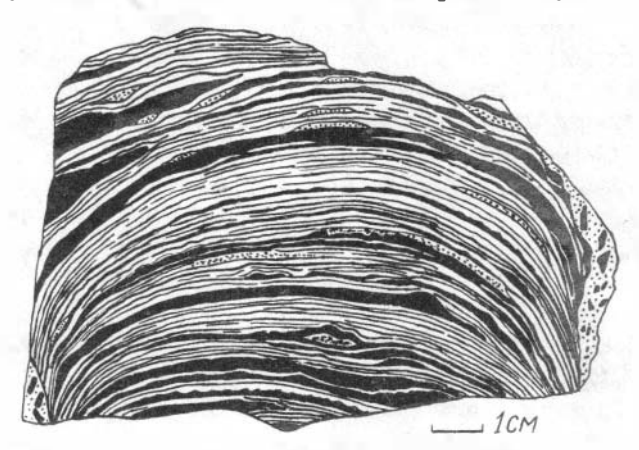


Рис.І. Зарисовка. Срез купола кремнистофосфатного строматолита. Слойки — микрофосфорит с кремневыми спикулами (белое) и зернами фосфата (черное); пунктир — зернистый фосфорит. Верхняя часть НД, месторождений Тьесай.

дят в биостромы и окружены плоскими, слабоизогнутыми обломками наслоев и мелким их детритом (интракластами) в кремнистом или карбонатном матриксе (табл.І, фиг.4). На кровле НД здесь лежит тончайше-слоистый фосфатный биостром (плосконаслоенная стромато-литовая постройка), прослеживающийся на этом уровне по всему бассейну — 0,І-0,3 м, над которым залегает КГ.В нижней его части, на Тьесае (І-І,5 м), КГ представлен линзослоями черных афанитовых кремней (в раздувах до 0,3 м), между которыми "струятся" плоские тонкие фосфатные микрослойки-ламины, а в самих кремнях рассеяны обломки таких же афанитовых фосфатных слоечков, насыщенные спи-кулами губок. Изобилует фосфатными тонкими биостромами и средняя часть КГ, которая здесь существенно карбонатная (I,8-2,0 м).

Затем строматолитовые фосфориты были обнаружены в той же фациальной зоне, что и Тьесай, но северо-западнее - на участке проявления Джетымтал. Здесь весь разрез фосфоритоносной чулак-

тауской свиты сокращен до 2-4 м, а КШС отсутствует. Наиболее ярко выраженный слой строматолитовых фосфоритов соответствует нижней части фосфоритовой пачки толщиной 20 см; вся пачка — от кровли НД до подошвы ЖМГ — имеет мощность 0,5 м. Нижняя половина строматолитовой части этого разреза представлена куполовидными ундулирующими постройками (рис.2). Верхняя часть (I2-I3 см) —

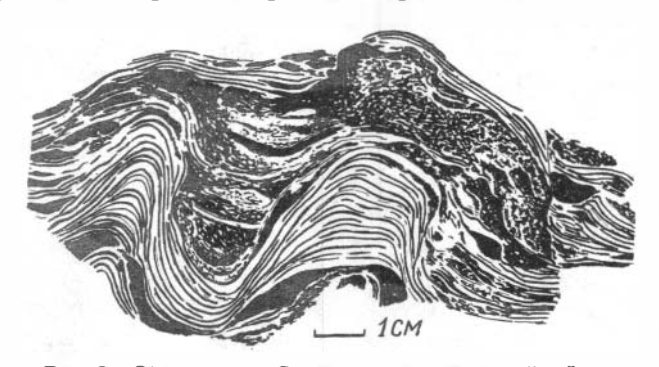


Рис. 2. Зарисовка. Срез ундулирующего фосфатного биострома в подошве продуктивного горизонта с фосфатным межкупольным заполнением. Слойки — "волокнистый" микросфорит с кремневыми спикулами. Месторождение Джетымтал.

столочатыми, которые перемежаются с горизонтально-слоистыми постройками (табл. I, фиг. 5). Промежутки между столойками засыпаны зернами фосфата, обломочками фосфоритов и карбонатных пород, биодетритом (спикулами). Эта масса механического заполнения пронизана "переходными мостиками" — горизонтальными или слегка вогнутыми вниз фосфатными микрослоистыми раскристаллизованными корками фосфата, такими же, какие слагают столочатые постройки. Отдельные слойки (ламины) построек обоих видов — столочатых и межстолочатых рассеянно карбонатизированы, иногда неясно — вторичный ли это карбонат или реликты карбоната, подвергшегося фосфатизации.

Изучение шлифов через эти различные строматолитовые постройки показало, что ламины куполовидных строматолитов (см. рис.І, табл.І, фиг.4) и располагающихся между ними плоских построек

(биостромов) из НД Тьесая слагаются или афанитовым (под микроскопом — криптокристаллическим), или различимо кристаллическим фосфатом, насыщенным кремневыми спикулами губок; спикулы местами
карбонатизированы. Обильно насыщенные спикулами ламины чередуются с такими, где спикул менее или почти совсем нет. Толщина отдельных наслоев куполов — до 2—3 мм. Чем они толще, тем менее
раскристаллизован в них фосфат.

Местами в фосфате наслоев этих выпуклых построек видны микроскопические нити водорослей и характерные "сферулы" — сферические сечения их колоний или крупных клеток (?), отдельных трубок, выполненные кварцем, фосфатом или карбонатом. Нередко эти округлые сечения группируются в "гроздья", которые, возможно, являются сечениями групп трубок /см. фиг.З в табл. ХІУ в книге 28/. Обычны также поры с очень характерной для водорослевых построек извилистой, "узорчатой" конфигурацией, заполненные непрозрачным органическим пигментом. В слойках построек видна микроскопическая система "подслоевищ", переклинивающихся друг с другом, образующих волокнисто-подобный, "сетчатый" узор (табл.2, фиг.І).

Несколько иначе выглядят фосфатные наслои столочатых построек, как на фиг.5, табл.І. Фосфатная масса их также насыщена кремневыми спикулами. Но здесь фосфат всегда тонкокристаллический, с тангенциальной ориентацией кристалликов — точно такой же, как и в кристаллических оторочках оолитов и пизолитов (табл.2, фиг.2). Эти фосфатные корки—слоевища достигают толщины І—3 мм и могут быть или сплошными, или распадаться на микроскопические корки—пленки, пронизывающие сложной, косо "перекрещивающейся" сетью фосфатно—спикуловый матрикс (табл.2, фиг.3). Слойки столбиков кроме спикул содержат рассеянные зерна афанитового фосфата и обломочки слойков строматолитов более ранних генераций.

Наиболее интересную картину дают слойки, являющиеся "переходными мостиками" межстолбиковых пространств (см. табл.2, фиг.2). Здесь механически накапливающиеся частицы, представляющие собой пеллеты афанитового фосфата, реже — карбоната, часто уплощенные, образуют слоёчки и линзочки, а также "гнезда" — кучки, которые "упакованы" пленками-корками тонкокристаллического фосфата с тангенциальной ориентацией кристаллов. Картина точно такая же, как и в пределах столбчатых построек, только здесь пленки-к чаще бывают более толстыми, чем на столбиках, и внутри, в свою

очередь, обнаруживают типичную столочатую строматолитовую текстуру. Каждая пленка-корка представляет собой стратиформную сово-купность микростроматолитовых столочатых построек, перемежающихся как по простиранию, так и в разрезе (табл.2, фиг.4 и рис.3). Между отдельными микростолойками, которые по ширине составляют доли мм, нередко — до I-3 мм, находятся каналы, заполненные неполяризующей массой фосфата, или же столойки просто разделены швом, по которому контактируют разноориентированные фосфатные микрослойки, входящие в состав разных столойков.

Примечательно то, что эти столбчатые микропостройки нарашивают пизолитовые и оолитовые оторочки отдельных зерен совершенно не отличаясь по структуре и прочим признакам от XNTE концентрических оторочек (табл.3. фиг.І.2). По строению OHXOM определить, что в ряде случаев столбики начинали расти на верхней стороне лежащего зерна, являвшегося некоторой дна. как это обычно и бывает у строматолитовых построек. Затем отдельные столоики или зерна перекрывались горизонтальными слойками, общими для многих столбиков или зерен (табл.2, фиг.3.4). Выше эти горизонтальные слойки могут снова распасться на купность широких и узких столоиков. Подобные микростроматолитовне каёмки обхватывают оолити, гальку, группы зерен. Таким образом в пленках-корках отчетливо видно, что оторочки оолитов и пизолитов являются частным случаем сферических строматолитовых построек - онкоидами. Такой вывод подтверждается и другим наблюдением. Обично гладкая форма оболочек оолитов всегда приводила к заключению об их чисто хемогенном образовании. Однако оолитовых зерен имеется характерный тип обрастания, рующий "строматолитовый" стиль формирования концентрических слоев, выбирающих лежащие в виде выступов на дне зерна, а не формирующийся на взвешенных или свободно перекатывающихся ядрах. Этот тип оолитов образно можно назвать "веерообразным" или "веерным" (рис.4).

На том же фосфатопроявлении Джетымтал выше слоя со столочатыми строматолитами, завершая продуктивную пачку, залегает слой тонкозернистых фосфоритов (0,2 м), в котором на пришлифовке даже визуально можно различить сеть волнисто-субпараллельных тончайших (доли мм и до I мм) слойков — тонкораскристаллизованных корок. На рис.5 представлена зарисовка характера наслоенности этих

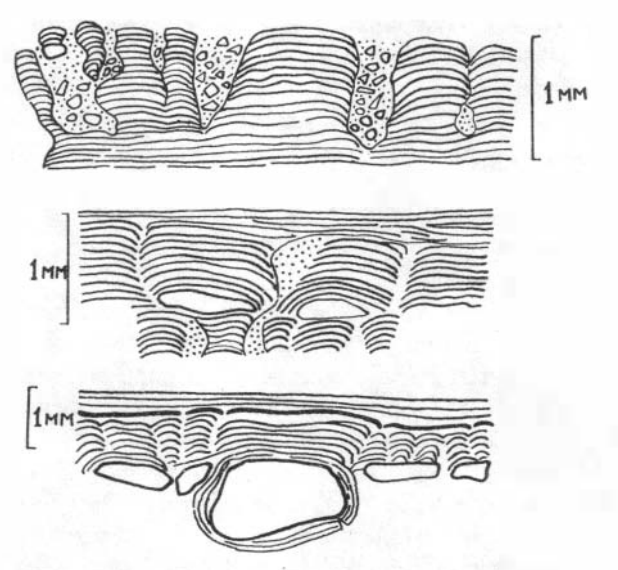


Рис. 3. Строение фосфатных микростроматолитовых построек. Барисовки по шлифам, показанным на фиг. 4, табл. 2 и фиг. I, табл. 3. Фосфатные тонкокристаллические столочатие и стратиформние строматолити, надстраивающие фосфатные оторочки зерен. Вмещающая масса — микрозернистый фосфорит с афанитовими фосфатными и карбонатными зернами.

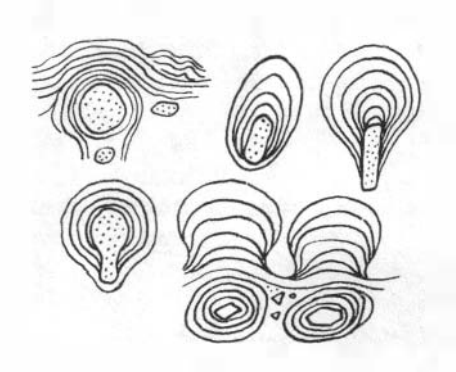
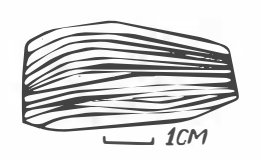


Рис. 4. Зарисовки микростроения фосфатных зерен микрозернистых фосфоритов Каратау. Тонкокристаллические фосфатные оторочки развиваются односторонне. "Веерообразный" тип онколитов. Внемасштабно.

Рис. 5. Зарисовка строматолитовой текстуры образца оолитово-зернистого фосфорита из верхней части НФ месторождения Джетымтал. Текстура заметна, благодаря тонким (0,I--0,5 мм) пленкам тонкокристаллического фосфата, разделяющим слойки, сложенные фосфатными пеллетами и оолитами.



корок, образующих типично биогермний узор, а на табл.4, фиг.I-3 - микрофото, на котором проглядывается параллельная послойная ориентация фосфатных кристаллитов в пленках, связывающих зерна.

Таким образом, фосфатные фитолиты, обнаруженные в разрезах Тьесая и Джетымтала, можно разделить на следующие типы: І) ку-половидные, 2) столочатые, 3) стратиформные — плосконаслоенные и слабоволнистые системы элементарных слойков, 4) сферические — оолиты, пизолиты, онколиты.

Изучение шлифов из строматолитовых построек, сложенных афанитовым фосфатом, позволило распознать строматолитовую природу и некоторых других фосфоритов афанитовой структуры, встречающихся как отмечено ранее, по всему разрезу чулактауской и кыршабактинской свит. Оказалось, что слои черных афанитовых фосфоритов КИС и НД (того типа, что на фиг. І, табл. І в виде фрагментов Taких слоев) являются тоже фитолитами. В карбонатных пластах KIIIC и в НД они залегают слойками от 0,5 до 5 см толщиной, разно облегая доломитовые биогермы или глыбы, с такими наклонами отдельных участков, которые несвойственны нормально осажденному материалу. Уже одна эта форма залегания говорит об их биогенной природе. Но еще более красноречива микротекстура (табл.4,фиг.4). Она совершенно аналогична текстуре фосфатных наслоений в столбчатых или купольных и биостромных постройках. Эта текстура видна под микроскопом в проходящем свете по полосчатой окраске тончайших слойков, на которые распадаются такие афанитовые слои. Характерна "биогермная" форма облекания этими пленками кварцевых песчинок, попавших в водорослевый мат, по которому впоследствии формировалась афанитовая пластовая постройка. Песчинки облекаются пленкой в форме буквы омега. В таких афанитовых черных фитолитах не встречено спикул - они появляются лишь верхов НД, но имеется характерная "сыпь" и "грозди" из мельчайших, довольно правильных сферул, выполненных кварцем, карбонатом или фосфатом — реликтов водорослей или каких-то иных колоний микроорганизмов.

Афанитовые фосфатные строматолитовые ламины, насыщенные спикулами губок, местами обильно, местами реже, в разрезе чулактауской свиты, как выше отмечено, образуют регионально распространенный биостром в основании КГ, который облекает неровности кровли НД, имея такие же омегообразные и антиомегообразные изгибы слоевищ; ранее он был выделен нами как "базальный фосфорит" /12, с.74-75/. Аналогичные кремнево-фосфатные биостромы имеются и в середине КГ, и в основании ЕМГ. Дезинтегрируясь после фосфатизации, биостромы и биогермы с афанитовыми фосфатными слойками давали плоские, часто сохраняющие изогнутость обломки с характерной вышеописанной текстурой.

Яркий пример образования галек-интракластов за счет биостромов дает тот же разрез месторождения Тьесай. Здесь между НФ и СП залегает слой крупногалечного конгломерата с фосфоритовой и кремневой галькой в карбонатно-фосфатном зернистом матриксе. Местами конгломерат подстидается тонкополосчатой фосфатной породой: в ней светло-серые полоски-ламины толщиной от долей мм до I-2 мм переслаиваются и перелинзовываются с черными толщиной от долей мм до I-5 мм (табл.5, фиг.I-3). На первый взгляд, эта лосчатая порода представляется обычной ровнотонкослоистой "кремнистой", выдерживающей горизонтальность наслоения на метры пределах обнаженности (в стенках карьера). Однако изучение простиранию обнаруживает резко веерообразно, выпукло вверх сближающиеся слойки - типично биогермные схождения. Микроскопически - это переплетение тонких фосфатных тонкокристаллических (на фиг.І, табл.5 светлое), которые связывают слойки, линзочки, присыпки фосфатных пеллет (на фиг.І, табл.5 - темные полоски). В целом это биостром фосфатных так называемых "алгал-ламинитов" - полосчатый фитолит мощностью 0,3-0,5 м. Биостром подстилается слоем (0,15-0,40 м) мелкогалечного конгломерата или гравелита с галькой из аналогичных алгал-ламинитов. Налегающий на крупногалечный конгломерат (в изученном сечении он имел мощность І,6 м) здесь содержит множество галек из породы подстилающего биострома, а непосредственно покрывающий этот конгломерат слоек фосфорита тоже имеет типично строматолитовую текстуру, слагаясь тонконаслоенными фосфатными корками.

Еще одним примером фосфатных строматолитовых образований служат фосфориты проявления Актас на р.Кыр-Шабакты, располагаршегося в пределах крайней северо-восточной полосы фосфоритовых выходов бассейна Каратау. Здесь, тоже в весьма сокращенном разрезе продуктивной части чулактауской свиты ( $H\Phi + C\Pi + B\Phi = 6 \text{ м}$ ). в 🗗 зафиксированы черные, на первый взгляд, - афанитовые или тонкозернистые фосфориты. При детальном микроскопическом изучении оказывается, что они слагаются мелкоплойчатым неравномерным переслаиванием тончайших афанитовых фосфатных микрослойков, прослаивающих - как бы "связывающих" - слойки-присыпки тонкозернистого пеллетного фосфорита. В целом это переслаивание имеет пичную текстуру биостромов. Отдельные слойки биостромов жаются со скоплениями интракластов афанитового фосфата с вильно-округлыми "рваными" сечениями - обломками элементарных слойков строматолитов, возникавших при взламывании осадков, проходящих ранний диагенез и не претерпевших окатывания. фитолитовой текстурой обладают некоторые слои из пачки НФ Актаса, в которых на фоне микроплойчатой волокнисто-наслоенной фосфатной массы рассеяны отдельные фосфатные пеллеты (табл. 5. фит. 4). Аналогичную текстуру - тонкое чередование афанитовых или раскристаллизованных фосфатных пленок-корок со слойками и сыпками тонкозернистых фосфатных пеллет - имеют здесь (до 5 см) черного фосфорита, залегающие в ЖМГ и БД на дениях Тьесай, Джилан. Эти прослои являются биостромами, переходя по простиранию в скопления плоских обломков - интракластов.

В разрезах самых различных по типу месторождений Каратау встречаются тонкослоистые зернистые фосфориты, на первый взгляд, ничего общего со строматолитами не имеющие. Но внимательное изучение их под микроскопом обнаруживает между зернистыми прослоями густую сеть слабо изогнутых и плоских афанитовых или тонкокристаллических тангенциально раскристаллизованных фосфатных корочек-ламин (табл.6, фиг.1).

Таким образом, в фосфоритоносной формации бассейна Каратау фосфатные строматолитовые постройки распространены довольно широко. Наиболее развиты малозаметные ламиниты, представляющие собой небольшие по вертикальному размеру биостромы, которые встречаются не только в сокращенных разрезах фосфоритоносной формации, но и в мощных (месторождения Коксу, Джанытас — табл.6,

фиг. 2). Подобные тонкополосчатые стратиформные фосфатные фитолиты — конечный результат минерализации органических покровов (матов), связывавших зернистый фосфатный ил или песок. Фосфат алгал—ламинитов встречается в двух модификациях: раскристаллизованной — с тангенциальной ориентацией кристалликов или "нераскристаллизованной" (для разрешающей силы оптического микроскопа).

Можно предположить, что афанитовый фосфат, даже если это матрикс, скрепляющий фосфатные зерна, может оказаться результатом действия комплекса строматолитообразующих организмов: в массе такого фосфата обично рассеяны реликты водорослевых комков, нитей, пленок, колоний; а по форме построек с афанитовым фосфатным цементом их легко квалифицировать как составные части биостромов или биогермов. Тонкие слойки афанитового фосфата возможно в ряде случаев считать биостромами не только вследствие наличия в таком фосфате реликтов водорослевых компонентов. Показательной является текстура этих слойков, обнаруживающих "строматолитовую" наслоенность, их форма, распадение на "волокнисто" сочетающиеся подслои. Наконец, иногда они по простиранию переходят в корки тангенциально раскристаллизованного фосфата, местами обнаруживающие типичную микробиогермную наслоенность.

Сравнение микростроения индивидуальных наслоев фосфатных строматолитовых построек с микростроением различных частиц (зерен, обломков) показывает, что здесь имеет место щественное сходство. Если мысленно отбросить многослойные (оолиговые) и одинарные (онкоидные) оторочки фосфатных зерен, то тавшиеся ядра представляются весьма однообразными, исключая кие, в общем немногочисленные ядра, как обломки фосфатных корок, фосфатный биодетрит. Они сложены афанитовым фосфатом, в степени раскристаллизованным, с такими же включениями, какие встречени в афанитових фосфатних наслоях типичних вых построек, с той же текстурой или ее элементами. По размерам фосфатных обломков наблюдается непрерывный ряд: от крупных угловато-плоских, часто слегка изогнутых фрагментов строматолитовых построек до округлых зерен алевритовой размерности. частицы гравийно-алевритовой размерности имеют практически все структурно-текстурные признаки ламин фосфатных фитолитов, T.e. действительно являются их фрагментами.

Следует высказать предположение о том, что образованию ка-

кой-то части фосфатных зерен псаммитовой размерности содействует явление диагенетической грануляции бесструктурной фосфатной массы ранее возникших афанитовых фосфатных слойков. Начальная Фаза этого процесса заключается в стягивании тонкого материала в сгустки. Последние имеют округлую, округло-угловатую, в общем, довольно разнообразную форму и размерность алевритовой по гравийной. Иногда их форма оказывается даже угловатой и очень напоминает типичные обломки. Формы сгустков, повидимому, определяются многим: взаиморасположением центров и величиной сил стягивания, системой ультрамикротрещиноватости бесструктурном веществе и т.п. Преобладают, конечно, округиме формы, очень похожие на свободные микрозерна фосфатов. Между такими сгустками или только по их периферии возникают зоны лотнения, где фосфат быстрее теряет рассеянную в нем органику и кристаллизуется, образуя радиально-кристаллические оторочки, могущие протягиваться с одного сгустка на другой, окаймлять ток лишь частично. Раскристаллизованная в межстустковом TDOCTранстве порода приобретает вид "зернистой", "оолитово-зернистой" с фосфатным "цементом". Но такая структура получается за счет явления постседиментационной грануляции, до механической теграции осадка. Кристаллизационное разъединение зерен подчеркивается в такой породе полным отсутствием по их периферии вых рубашек", обычно приобретаемых при перекатывании по дну, или иных признаков загрязнения поверхности зерна во время тировки. В других случаях раскристаллизация бесструктурного фосфата приводит к образованию сферолитовой структуры: возникает множество центров кристаллизации, вокруг которых создаются концентрически-слоистые зерна, без ядер или с ними, идеально сферической формы или радиально-лучистие. Раскристаллизованный микросфорит впоследствии, обнажаясь на дне, легко дезинтегрируется механически. Преобладающий размер фосфатных микрозерен в Каратау - 0,I мм /3I, c.63/ и их доминирующая форма - округлая, с соотношением диаметров менее I,5 /3I, c.62/ - совпадают с дающими размером и формой стустков в афанитовых фосфатных ках, на которые они распадались вследствие процессов кристаллизационной грануляции и последующей механической дезинтеграции.

Примесь почти неокатанных — "рваной" формы или просто угловатых — фрагментов микросфоритов с характерной для строматолитовых слойков текстурой и включениями (табл.6, фиг.3) имеется на всех уровнях продуктивной толщи Каратау. В ряде случаев, особенно в сокращенных разрезах, плоские фосфатные интракласты галечно-гравийной размерности, часто с заостренными краями слагают целые пласты, причем наблюдается очень плотная укладка обломков вследствие их уплощенной формы.

Таким образом, мы приходим к заключению, что все зерна и прочие кластические фосфатные элементы микрозернистых фосфоритов Каратау-это продукты дезинтеграции, фрагменты фосфатных тов разрушенных строматолитовых построек - фитолитов - или фатизированных органонасыщенных элементов илов. Оторванные материнских фосфатных фитолитов или отвершевших корочек ила. также вымытые из незатвердевшей массы осадка. Фрагменты быстро измельчались до устойчивой псаммитовой размерности или же возникали сразу именно в такой размерности, благодаря гранулирующей деятельности стягивания и раскристаллизации афанитовой фосфатной массы. Вязкая водорослевая (цианобактериальная) слизь вала перемещающиеся по дну интракласты, некоторые скрепляла агрегаты. Эта слизь, консервируясь осадком, впоследствии фосфатизировалась точно так же, как и слоевища более крупных строматолитовых построек; в результате возникали оолиты, в сложные агрегированные, и пизолиты, в текстуре корок которых редко можно увидеть типичные микробиогермные черты. На отдельных участках слизь покрывала целые участки дна, приводя к формированию квазиплоских микрокристаллических слоистых корок или товых фосфатных слойков, а при обильном поступлении зернистого материала - к образованию фосфатного "цемента" различной текстуры. Все эти образования микро- и мини-биостромного типа частично или полностью разрушались, давая новые массы интраклас-TOB.

О значительной роли строматолитообразования для накопления зернистых фосфоритов говорится в упомянутых выше статьях индийских и китайских геологов. О "микросфорит-интракластовом механизме" накопления зернистых фосфоритов Флориды подробно пишет С.Риггс /29, с.128-130/. Однако при этом он исходит из мнения о хемогенности микросфоритового ила, порождающего при его дезинтеграции "аллохемы".

Изучение каратауских кремней и фосфоритов, а также ассоцииру-

юших с ними слабо раскристаллизованных карбонатов подводит к тому, что представления об участии органической массы в минерализации этих веществ здесь можно конкретизировать именно как казывания о механизме строматолитообразования. Формирование фосфатных оолитов является разновидностью этого процесса. Возникающие на поверхности дна или на отдельных его участках, обладающих какими-то преимуществами (топографические особенности или чие затравок), цианобактериальные слоевища-пленки, т.е. ческие маты, фосфатизируясь (возможно, всегда после предваряющего обызвествления), вскоре дезинтегрировались, порождая накопления интракластов. Тонкостратиформные пленки-слоевища прослаивали и переотложенный материал (табл.6,фиг.4,5). Измельчение фосфатизированных фитолитов происходило как по случайной сети трещинок, так и в соответствии со структурой, возникавшей при кристаллизационном гранулировании. Конечно, как отметил С.Риггс /29, с.130/, структурно-текстурная идентичность мелких и крупных интракластов с уменьшением размеров фрагментов затушевывается.

Повторим: фосфатные элементы строматолитовых построек встречаются в двух модификациях — бесструктурные и тангенциально раскристаллизованные (корки). Степень раскристаллизации может быть
самой разной, образуя непрерывный спектр между этими двумя модификациями. Внутри наслоев строматолитовых построек может содержаться в совершенно различных количествах — от ничтожных до преобладающих — механическая примесь различных частиц: биодетрита,
тончайше рассеянного аутигенного и терригенного материала (чешуйки гидрослюд, гидроокислы, сульфиди, кварц, карбонат и т.д.),
а также тончайше рассеянное углеродистое вещество в виде темного
пигмента.

Сравнение макро— и микротекстур как самих каратауских строматолитовых фосфоритов, так и сопровождающих их нефосфатных пород (карбонатов и кремней) с опубликованными в работах (2I,28,30,32,54,59,6I,63/ микрофотографиями сечений истинных фитолитов приводит к заключению о высокой степени сходства. До последнего времени строматолитовые постройки чулактауской свиты (как правило, лишь карбонатные, в том числе онколиты) замечали только в НД и ЖМГ. Сейчас можно сказать, что значительная часть всех карбонатных пород свиты является строматолитовой или продуктами их дезинтеграции. Нераскристаллизованные участки этих пород почти

всегда обнаруживают микростроматолитовую текстуру (купола, столбики, "ветки", ламиниты). В покрывающей чулактаускую свиту карбонатной шабактинской серии строматолиты распространены почти сплошь, являя огромное разнообразие форм биогермов и биостромов /6/, в том числе тончайше наслоенных, с толщиной слоев от долей мм и до I мм, а также онколитовых пород. Такие биостромы толщиной иногда до I см перемежаются с невыдержанными слойками мелких плоских интракластов, имеющих текстуру биостромных слойков.

Интересным объектом с позиций изучения строматолитов являются кремнистие горизонти чулактауской свити, а также ниже- и вышележащих свит.

Издавна известна ассоциация фосфоритов и пластовых кремней. Некогда на ней строились обоснования причинной связи фосфоритообразования с вулканической деятельностью /например, 3; 9,с.171-179; 38/. Однако известно множество залежей осадочных кремней, никак не связанных с фосфоритами. Считалось, что пластовые кремни отлагаются химически, вследствие обильного поступления в морские воды кремне зема при подводной вулканической деятельности. иногда могущей поставлять в морские воды и фосфаты прямо MIM косвенно. Но, если возможность выноса кремнезема в составе эксгаляций подверждалась и непосредственными наблюдениями над COBременным вулканизмом, то возможность поступления таким же oopaзом в морские воды фосфатов в сколько-нибуль тельных количествах и без обильного сопровождения металлами ПO сих пор практически декларируется.

Со временем стали приходить к заключению, что палеозойские и более молодые пластовые кремни, сопровождающие фосфориты, чаще всего являются биогенными (спонголитами, как в Каратау, или диатомитами — в молодых отложениях). Появились расчеты, показывающие, что в нормальных морских водах содержится достаточно кремнезема, чтобы обеспечить образование пластовых кремней в зонах фосфоритообразования — на мелководных участках шельфа /48, с.369-373/. Вместе с тем вырисовывается не беспорядочное размещение кремневых горизонтов, ассоциирующих с фосфоритами, а вполне постоянное их местонахождение в профиле распределения литологических компонентов фосфоритоносных формаций, симметричность их положения (обрамляющего) относительно продуктивных частей разре-

за /II/. Подобные явления могут свидетельствовать о том, что ассоциирующие с фосфоритами кремни являются определенным элементом профиля нормального осадконакопления, подчиняются цикличности осадочных процессов и не связаны прямо с такими экстраординарными явлениями, как вулканические эксгаляции.

Много лет изучались кремнистые породы чичканской - средней части мощной (около IOOO м) малокаройской серии, непосредственно подстилающей фосфоритоносную формацию Малого Каратау /см. 12. с.44/. Чичканская свита отделена от фосфоритов пятью-восемьюстами метров туфогенно-терригенной курганской свиты и сама является существенно территенной, сложенной тонконаслоенными черными, а в выветрелом состоянии - зелеными алевролитами и аргиллитами. Среди ее терригенных пород, нередко глауконитоносных, в средней части свиты залегает пачка. карбонатными породами. В них и в переслаивающихся с ними генных породах наблодаются обильные включения черных кремней разнообразной, часто причупливой формы. Среди этих форм встречаются типично строматолитовые куполовидные образования. окруженные изогнутыми обломками их слойков. Из этой части разреза саны строматолитовые постройки, напоминающие древесные стволы: Conophyton gaubitza Krylov. В чичканской свите имеются крупные кремневые бисгермы и иных форм, например, типа вдавленных посредине караваев до метра в диаметре, наложенных один на другой, это так называемые "микроатоллы". Имеются пласты мелкостолочатых кремневых строматолитов в доломитовом матриксе (табл.7, фиг. I). Максимально же развиты в пачке невыразительные субпослойные выделения кремней, производящие впечатление "линзовидных", "желваковых", и неправильно-слойковой или даже слоистой формы без признаков биогенной структуры. Однако в плифах эти кремнистые виделения, первоначально принимаемые нами за метасоматические, имеют микротекстуру, очень характерную для строматолитовых строек и неотличимую от микротекстуры слойков из явных биогермов в этой же свите. В ряде мест можно видеть и макроскопическое типичное строение биогермов (рис.6).

Другим объектом, относящимся к фитолитам, является к р е м н е в н й г о р и з о н т чулактауской свитн. Вышеупомянутое огибание тончайшеслоистыми (волокнисто-слоистым) кремнисто-фосфатными слоями в основании КГ выступов в кровле НД от-



Рис.6. Зарисовка строения биогерма в обнажении кремнисто-глинисто-алевритовых пород чичканской свити. Черное — сплошной раскристаллизованный кремнезем. Малокаройская долина, р.Тамды.

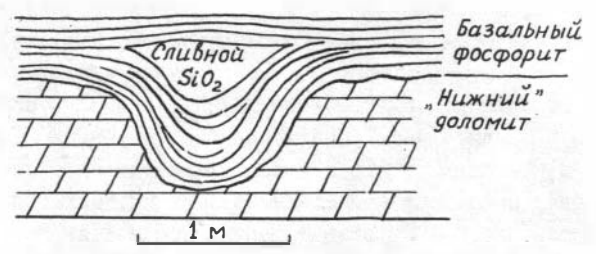


Рис.7. Зарисовка характера залегания слойков в фосфатно-кремнистом биостроме. Горизонт "базальный фосфорит", налегающий на НД. Месторождение Джилан.

мечено еще в 1959 г. /36/. Обращают на себя внимание очень крутие, почти вертикальные наклоны слоев, огибающих эти выступы, что свойственно лишь водорослевым матам (рис.7). В работе /І2, с.74—75/ описан уже ранее упомянутий тонкий слой, развитий повсеместно на территории Каратауского бассейна между НД и КГ и названный "базальным фосфоритом". Это слой мощностью 0,І-0,5 м кремнистокарбонатного фосфорита тончайшеслоистой, типично ламинитной текстури, образующий характерные биостромные и биогермные формы. В шлифах из пород данного слоя повсеместно наблюдаются микро— и макростроматолитовые купола (табл.7, фиг.2). Слойки этого регионально выдержанного биострома слагаются афанитовым фосфатом, кремнем, реже карбонатом и насыщены спикулами губок, которые тоже то кремнистие, то фосфатные, то карбонатные. Местами спикул так много, что породу можно назвать спонголитом. Здесь полная аналогия со столбчатыми и куполовидными фосфатными строматолита-

ми Тьесая и Джетымтала, слойки которых тоже насыщены спикулами. На некоторых участках "базальный фосфорит" переходит в плоскооб-ломочные брекчии взламывания, что ранее было описано на примере разреза месторождения Джилан В.Н.Холодовым и А.С.Корякиным /36/, т.е. наблюдается такая же картина брекчирования биостромов, как и внутри НД.

Детальное визуальное и микроскопическое изучение вышележащих слоев КГ и кремневой (как представляется — более мелководной) фации СП показало, что в них тоже можно установить большое количество типичных биогермных текстур. Выпуклые биогермы в КГ упомянуты нами в /I2, с.82, рис.40, 4I/. Они визуально распознаются в сплошной кремневой массе только по текстуре, а в случае переслаивания кремней и глинистых пород — по линзообразным выделениям кремня, в которых текстура стерта раскристаллизацией /I2, рис.39/. В кремневой фации СП на месторождении Джилан можно видеть в одном и том же слое кремня фитолиты "выпуклые вверх" и выпуклые вниз" (рис.8). И если последние иногда можно принять, как и случалось, за обычное седиментационное заполнение впадин, то "выпуклые вверх" не оставляют сомнений в их строматолитовой природе.

Макроскопически массивные кремни КГ представляют собой микроскопическое "волокнистое" переплетение окрашенной органикой буроватой пелитоморфной халцедоново-кварцевой или неопределимой точнее чем "кремнистая" слабо поляризующей массы, проявляющей тончайшую наслоенность (табл.7, фиг.3). В эту массу включены листочки гидрослюд и любой другой механически занесенный материал: спикулы губок, зерна кварца, карбоната, фосфата и др. примесь (кроме гидрослюд) не беспорядочно рассеяна в массе кремня, а формирует слойки-присыпки, кучки, которые своей конфигурацией как бы повторяют направления наслоенности кремневых "волокон". Механический материал изначально явно связывался элементами вязких органических матов, по контурам которых впоследствии фиксировался кремнезем. В целом текстура кремней соответствует известным текстурам водорослевых ламинитов (табл.7, фиг.4). Пространственные взаимоотношения между разновидностями компонентов породы таковы, что можно заключить: раскристаллизация развивается по первично-микрослоистой массе, сетью наслоев с характерной "волокнистой" микротекстурой. С ко-

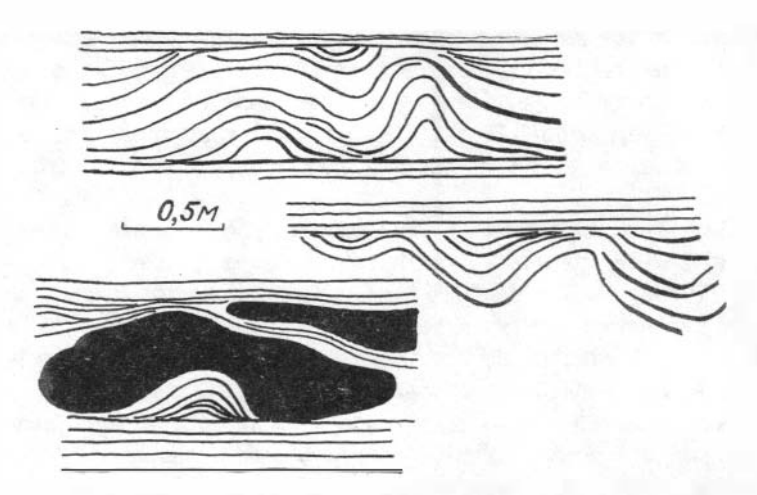


Рис. 8. Куполовидное и стратиформное строение кремнистых слоев на уровне СП месторождение Джилан.

личественно преобладающими линзонаслоями кремня ассоциируют фосфатные зернистые или афанитовые линзонаслои, а также карбонатные.

Таким образом, кремнистие породы КГ в целом слагают регионально выдержанний строматолитовый горизонт, составленный из множества мелких биогермов и биостромов с различной долей участия механической примеси в материале их элементарных наслоев и между ними. Главной составляющей этой механической примеси являются спикулы губок и фосфатные зерна.

Надо учитывать, что процессы раскристаллизации и постседиментационного перемещения кремнезема, происходящие весьма неравномерно и зависящие от многочисленных факторов, в том числе от количества и характера примесей, от структуры первичного осадка, от интенсивности постседиментационного стресса, от мощности слоев и т.п., приводят к существенной затушевке первичной текстуры кремнистых фитолитовых построек, местами стирают их опознавательные черты, формируют бестекстурные "силициты", нередко имеющие "рвущий", секущий характер контактов с вмещающими слоистыми породами.

Заканчивая раздел о строматолитовых фосфоритах Каратау, нельзя не коснуться образований промежуточного, как представля-

ется, вида между фосфатизированным водорослевым матом и чисто хемогенным наслоем. Это так называемые "хард-граунды" - отвердевшие поверхности осадка. Явление возникновения хард-граундов особенно характерно для карбонатных отложений.

В отложениях каратауской фосфоритоносной формации фосфатизированные хард-граунды можно увидеть во всех горизонтах, особенно хорошо макроскопически они выражены в НД и в "А"-массивном слое доломитов, покрывающих БД (уже за пределами чулактауской свиты). Фосфатные хард-граунды внешне представляют собой в поперечном сечении черные, бурые полосы толщиной до I см, которые сверху ограничены резко, а снизу их темная окраска нарастает постепенно. Интенсивность окраски породы прямо пропорциональна содержанию фосфата. Отвердевшей темной коркой заканчиваются мелкие циклы осадконакопления, и, судя по характеру поверхностей хард-граундов (следы размывов, биотурбаций, присыпки детрита над поверхностью и т.д.), эти поверхности оформлялись в течение перерывов.

Примечательно, что темная зона, богатая фосфатом, вместе с тем часто насыщена и органическими остатками. Наиболее обогащенная фосфатом самая верхняя часть разреза хард-граундов микроскопически почти неотличима от некоторых фосфатных строматолитовых слойков; она содержит афанитовый фосфатный матрикс и лишь не обладает характерной ламинитной или биогермной текстурой. Над верхней границей темной полосы часто можно видеть плоские интракласты размитых частей хард-граундов, очень схожие с бассейновыми интракластами. П.Саутгейт /68/ обращал внимание исследователей на широкое развитие фосфатизации хард-граундов и ее возможности являться источником некоторой части фосфатных интракластов песчаной размерности для формирования микрозернистых фосфоритов.

Образование литифицированных фосфатизированных корок по той части осадка, которая более насыщена органикой, позволяет увидеть аналогию между процессами фосфатизации хард-граундов и строматолитовых наслоев. Последние формируются при минерализации того, что первоначально было органическим матом, а первые - путем минерализации поверхностной части осадка, наиболее насыщенной органикой вследствие замедления карбонатонакопления. Возможно, что фосфатизация хард-граундов тоже идет по карбонату. Сущность же процесса едина в обоих случаях — диагенетическая минерализация фосфатов в пространстве, насыщенном органикой.

### 4. ©ОСФАТНЫЕ И КРЕМНИСТЫЕ СТРОМАТОЛИТОВЫЕ ПОСТРОЙКИ AЛТAE—CAЯНСКОГО И ХУБСУГУЛЬСКОГО ФОСФОРИТОНОСНЫХ БАССЕЙНОВ

В 50-х и 60-х гг. в складчатых областях юга Сибири (Алтае-Саянской и Байкальской) и на смежной с этими областями территории Монголии, у озера Хубсугул, были обнаружены многочисленные проявления и месторождения верхнедокембрийских (теперь - нижнекембрийских) фосфоритов. Как упомянуто ранее, впервые строматолитовые фосфориты были найдены именно в Горной Шории. Однако все более поздние находки фосфоритов в Алтае-Саянской области к строматолитовому типу не были отнесены. так как ясных характерных для строматолитовых построек, в них не замечали. Выявленные здесь фосфориты залегают слойками, в переплетении с кремнистым или карбонатным материалом. Собственно фосфатные слойки в случае отсутствия примесей характеризовались, как вило, афанитовой, тонкокристаллической или криптокристаллической структурой, которая чаще всего воспринималась как признак ческого выпадения фосфата. В целом такие афанитовые фосфориты, независимо от мощности их слоев, определялись как "пластовне" и неправомочно считались аналогами пластовых микрозернистых фосфоритов бассейнов Каратау, КНР, Фосфория, среди которых всегда имеются слои афанитовых фосфоритов, на предмет определения ИΧ практической ценности. Сравнение новооткрытых фосфоритов с промышленными месторождениями фосфоритов Каратау и КНР полкреплялось близостью возраста (позднедокембрийского или кембрийского) тех и других, а также сходством состава щающих формаций - "кремнисто-карбонатным". Однако на этом аналогии и заканчивались.

Несхожесть известных промышленных пластовых микрозернистых фосфоритов с "пластовыми" микросфоритами Сибири в первую очередь усматривалась в различии тектонических обстановок. Если все крупные месторождения древних пластовых фосфоритов занимали, как считалось, "миогеосинклинальное" (перикратонное) положение, кроме "платформенных" китайских, то алтаесаянские вначале были определены как "эвгеосинклинальные" /22/, вследствие больших мощностей вмещающих формаций и пространственной близости их к вулканогенным толщам примерно того же возраста. Впоследствии, после

открытия месторождений Хубсугульского фосфоритоносного бассейна (ХФБ) в МНР и его продолжения на север в область Восточного Саяна на территорию СССР, стало ясно, что пространственная связь фосфоритоносных формаций с вулканогенными толщами не может рассматриваться как существенная и тем более как причинная. Свити, вмещающие пластовые фосфориты Каратау, Фосфории и бассейна Джорджина, тоже перестали рассматриваться как "геосинклинальные". Стало учитываться понятие о "карбонатных платформах" континентальных окраин, и позиции всех пластовых фосфоритов упоминаемых регионов вложились в него. Немаловажную роль в отказе от применения к классификации фосфоритовых месторождений понятий "платформа" и "геосинклиналь" сыграло и возникновение концепции плитной тектоники. Остался главный аспект сравнения: структурнотекстурные особенности самих фосфоритов и вмещающих слоев.

При сравнениях /см. например, 10, с.108-II0; 14, с.136; 22, с.175/ отмечалось, что фосфориты Алтае-Саянского и Хубсугульского бассейнов отличаются от пластовых фосфоритов крупных и логичных по возрасту месторождений (Каратау и КНР) превалированием тонкокристаллического фосфатного вещества при крайне нозначительном распространении оолитов и микрозерен; обилием брекчиевых разновидностей фосфоритов; сгустково-неправильной фосфатных обособлений: "размитыми", распливчатыми контурами невыдержанностью рудных залежей; в монгольских фосфоритах - четким тонким и частым переслаиванием фосфатных и нефосфатных карбонатных и кремнистых компонентов. "В ХФБ. - писал А.В.Ильин из-за каких-то не вполне ясных причин афанитовый фосфатный материал лишь в редких случаях преобразовывался в зернистый. Обычно же он либо сохранялся в первичном виде, образуя прослои или лоски монофосфатного состава, лишенные какой-либо внутренней структуры, либо ... дезинтегрировался на неправильные по и разнообразные по величине выделения" /14, с.140/.

В ранних описаниях фосфоритов складчатых областей юга Сибири и ХФБ основное внимание уделялось макроформам фосфатных выделений, структуре фосфатного вещества по размерности кристаллов, характеру залегания продуктивных пластов. Детали текстурных особенностей самих микрокристаллических фосфатных образований както выпадали из поля зрения. В одной из основополагающих работ /22/ по фосфоритам Алтае-Саянской области (АСО) они были класси-

фицированы на следующие типы: I) седиментационные: тонкокристаллические карбонатные, карбонатно-кремнистые, кремнистые, мономинеральные - без примесей к фосфату; 2) седиментационные переотложенные: брекчиевые, карбонатные, фосфатные; 3) седиментационно-диагенетические: стяжения в кремнистых сланцах, карбонатах; 4) переотложенные седиментационно-диагенетические гравелитовые: кремнистые, карбонатные, мономинеральные.

Тонкокристаллические фосфориты ACO, как отмечалось, могут образовывать и относительно мощные пласти, а точнее говоря — пластообразные залежи, но часто слабо выдержаны по простиранию в отличие от очень выдержанных залежей зернистых и микрозернистых фосфоритов; могут резко выклиниваться, расщепляться, часто не имеют ясных границ. Это объяснялось тем, что данные фосфориты формировались как хемогенные осадки в условиях высоких темпов накопления соосаждающихся с фосфатом тоже хемогенных карбонатов и кремнезема, т.е. быстрого захоронения ортохемного фосфатного осадка, и, как следствие, невозможности его существенных перемывов, которые бы могли сформировать богатые зернистые фосфориты /23/.

Как можно видеть, вышеприведенная классификация, учитывала только состав цемента и форму фосфатных выделений вместе с элементарной структурой фосфата. Более подробная классификация была составлена для фосфоритов Хубсугульского месторождения позже /16, 17/. В ней уделялось большее внимание форме и строению (текстуре) весьма разнообразных собственно фосфатных афанитовых элементов породы. Было отмечено наличие фосфатных овулей с зональным распределением органического вещества, зерен с каемками, оолитов и др. Авторы описали неоднородности в микросфоритовых слойках и в изолированных выделениях фосфата неправильной или округлой формы, а также "зернистые" и различные "обломочные" фосфориты. Фосфатные афанитовые прослоечки по-прежнему определялись как "чисто хемогенные образования", зернистые – как "микроконкреционные" /16, с.70/.

Новые соображения относительно природы пластовых фосфоритов АСО и ХФБ возникли после проведенного нами сравнения их с типично строматолитовыми фосфоритами Араваллийских гор в Раджастхане, бассейна Тал в Низких Гималаях, Горной Шории и Каратау, в которых иногда тоже чередуются кремнистые, карбонатные и фосфатные наслои. В публикациях по строматолитовым фосфоритам супергруппы Аравалли, бассейна Тал и Горной Шории, а также платформы Янцзы (КНР) /см.32, 47, 53, 54, 59/ приведены фотографии образцов и шлифов из фосфатных строматолитовых построек. Сравнение этих материалов, дополненных образцами и шлифами собственных сборов автора, с материалами по фосфоритам Сибири и МНР показало, что "пластовые" афанитовые фосфориты АСО и ХФБ обладают текстурами и структурами, идентичными таковым типично строматолитовых фосфоритов.

Уже при полевом осмотре теми, кто изучал фосфориты хубсугульских месторождений, была отмечена высокая степень го сходства между фосфоритами формации Тал и Хубсугульскими по одинаковым черным афанитовым прослоям и характеру переслаивания /18/. В формации Тал эти прослои обнаруживают подлинно строматолитовую текстуру, проявлявщуюся благодаря наличию пирита, который, развиваясь по слойкам и контактам между ними, трассирует неразличимые иначе строматолитовые купола (рис.9). из этих. внешне очень однородных афанитовых прослоев фосфата. пигментированного органикой до черной окраски (дымчатая в фе), обнаружилась сложная текстура подобных фосфатных тел. В ней - на фоне тончайшей, микроскопически ламинарной, морщинистой, с разнообразными извилинами или сложнолинзующейся, как бы "волокнистой слойчатости - фиксируются обильные ооидообразные и сферические, а также тонколинзовые, пленочные и т.д. выделения фосфата. Текстура эта проявляется различием в тонах окраски, женными карбонатизацией и окремнением. Характерными элементами здесь являются рассеянные, местами многочисленные сферулы и петли нитевидных образований явно органического происхождения, выполненные карбонатом, фосфатом или же кремне земом (табл.8, фиг. 1).

А.Д.Ахлувалия, как говорилось выше, обнаружил в составе строматолитовых фосфоритов формации Тал богатый комплекс органических остатков, отнесенных к водорослям и скелетной микропроблематике /42/. Аналогичные остатки наблюдаются и в черных афанитовых хубсугульских фосфоритах, которые при этом изредка проявляют текстуру выпуклых форм макрофитолитов, а чаще всего являются их стратиформными разновидностями.

Сравнение шлифов из типичных фосфатных строматолитовых наслоев горношорских фосфоритов, описанных в /32/, а также в /53,

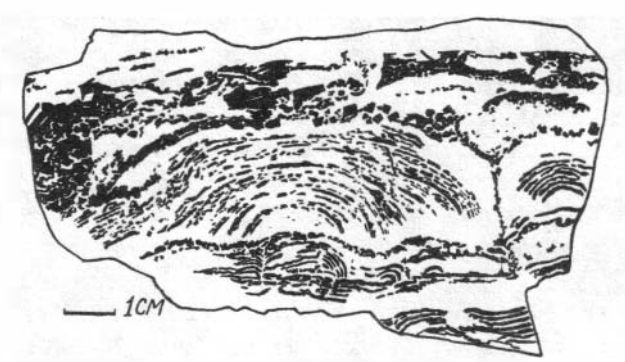


Рис.9. Зарисовка. Срез образца черного микросфорита со строматолитовой текстурой, видной по узору ширитизации (черное — пирит, белое — афанитовий фосфат). Формация Тал, Индия.

см. фиг.2/, показало высокую степень сходства их текстуры с текстурой афанитовых фосфатных прослоев из других месторождений АСО и ХФБ. Ранее своеобразие таких текстур многими не воспринималось как биогенное, видимо, просто вследствие оторванности сферы интересов от петрографии фитолитов. Изучение петрографических текстурных особенностей араваллийских, талских, горношорских каратауских строматолитовых фосфоритов, а также типичных карбонатных и кремнистых строматолитовых и онколитовых построек, том числе по работам В.П.Маслова, И.Н.Крылова, С.Н.Серебрякова, М.Е.Раабен, М.А.Семихатова, К.Л.Монти и др. (см. обобщающую статью /63/ с характерными фотографиями микротекстур вместе с изучением публикаций по петрографии типичных строматолитовых фосфоритов Индии и КНР /46,47,54,59/ приводит к возможности заключения о фитогенном характере так называемых тонкокристаллических фосфоритов АСО и ХФБ. Текстуры последних в высокой степени сходны также с микротекстурами карбонатных пород водорослевого происхождения, денных в монографии "Карбонатные породы" на фиг.6-Д; 8-Б-Е; IO-E; II-B,Д; I2-E; I3-A,B,Д,Е; I4-Б,Д,Е; I5-В /20, глава 4/.

Можно сказать, что значительной степенью схожести между собой обладают все афанитовые фосфориты ACO и Прихубсугулья, если иметь в виду именно их первичные выделения. Как справедливо замечено в /15,22/, фосфорить этого региона в незначительной степени подверглись синседиментационному размыву, что выражается очень слабым развитием их кластических разновидностей псаммитовой размерности; формировались лишь брекчии взламывания или раздавливания, без перемыва. Они, в отличие от каратауских, также очень незначительно окислены грунтовыми водами, что позволило здесь сохраниться в фосфатном веществе органической примеси в виде черного пигмента.

Среди фосфатных образований в строматолитовых постройках различаются два основных типа: I) водорослевые пеллеты — мелкие комки округлой, округло-угловатой и порок причудливой формы, часто содержащие разнообразные включения кварцевого или карбонатного состава; 2) сплошные афанитовые водорослевые слоёчки узорчато-разноокрашенные в коричневатые, серые и черные цвета, с включениями водорослевых комков. На табл. 8, фит. 2, 3 показаны эти два типа фитогенных фосфатных образований, переслаивающихся в одном и том же шлифе из строматолитового фосфорита формации Тал.

Постфосфатные карбонатизация или окварцевание часто преобразуют фосфатные слойки строматолитовых построек в карбонатную, карбонатно-кремнистую или кремнистую породу с включениями фосфатных выделений округлой и неправильной форм — реликтов неравномерностей строения ранее сплошь фосфатных первично водорослевых прослоев.

В образцах и шлифах из фосфоритов таких месторождений и фосфатопроявлений Алтае-Саянского фосфоритоносного бассейна, как горношорские, Тамалыкское, Боградское, Саржаковское, Юлинское, Кутень-Булукское, Кызасское, Талановское, которые ранее квалифицировались как "афанитовые пластовые", повсеместно проявляется текстура строматолитовых наслоев, водорослевых комков, онколитов (табл.8, фиг.4; табл.9, фиг.1,2,3).

То же самое можно сказать и о фосфоритах Западного Прибайкалья, Морского хребта; Ухагольского, Харанурского, Хубсугульского, Цаганнурского и Бурэнханского месторождений Хубсугульского фосфоритоносного бассейна. Фосфориты перечисленных площадей являются или фосфатизированными стратиформными строматолитовыми постройками, или скоплениями фрагментов (возможно псевдокластическими) этих фитолитов (табл.10, фиг.1-4; табл.11, фиг.1,2).

Надо отметить, что твердых доказательств прикрепленности ко дну всех первичных органических матов, по которым в конечном счете возникли фосфатизированные слои ACO и  $X\Phi B$ , т.е. доказа—

тельств того, что эти слои действительно были биостромами, пока нет. Не исключено, что какие-то из "биостромов" ХФБ и АСО представляли изначально просто слоистые накопления отмершего планктона и иных биоформ, которые в итоге и фосфатизировались, подобно любому органическому включению в осадке. Тем не менее, в некоторых таких слойках "афанитовых" фосфоритов удается подметить элементы именно строматолитовой текстуры — куполовидной, но чаще всего очень пологой (см. табл.9, фиг.4). А вот на месторождении харанур, относящемуся к ХФБ, обнаружены типичные столочатые и крутовыпуклые куполовидные фосфатные строматолиты (материалы А.Ф.Георгиевского,гос. науч.-исслед. институт горнохимического сырья).

Карбонатние или кремнистие прослои, чередующиеся на месторождениях АСО с фосфатными, также в ряде случаев имеют отчетливо выраженную микростроматолитовую текстуру, а встречающиеся слойки "микрозернистого" фосфорита являются онколитовыми (см. фиг.2, табл.II). В их массе включены фосфатные линзослоечки с фитогенной текстурой, а также нередко и детритный фосфатный материал, представляющий собой как неокатанные, так и окатанные фрагменты фосфатных наслоев и фитолитов.

Объем публикации лимитирует количество иллюстраций к сказанному, число которых можно было бы многократно увеличить: дополним показ за счет других источников. Так, к стратиформным строматолитовым следует отнести тонкослоистые фосфориты месторождений Хубсугульского бассейна, фотографии которых опубликованы книге А.В.Ильина /І5/ - на таблицах І, П, Ш, ІУ, УІ, УП/3/УШ,ІХ /2/. В табл. УШ на снимке I черный слоек в верхней части в шлифе представляет пример особенно типичной причудливо-узорчатой водорослевой микротекстуры. Он залегает между слоями с фрагментами подобных же фосфатных прослоев. Типичные фитогенные текстуры фосфатных образований изображены на микрофотографиях доломитистых фосфоритов в /Іб/ на фиг. 3 и в /І7/ - на фиг. І б, г). Строматолитовые фосфориты Тамалыкского месторождения изображены на фиг.4, 5 в статье /22/; здесь же, на фиг.7 изображен "гравелитово-зернистый" фосфорит Боградского фосфатопроявления, сложенный, как выяснилось, интракластами из фосфатных слоев строматолитовых построек. Такой же гравелит с интракластами слоевищ с этого же участка изображен на рис.5 работе /ІО, с.88/, эти интракласты гравийно-галечной размерности, как оказалось, имеют текстуру элементов строматолитовых построек (см. табл.8, фиг.4).

В основании продуктивной пачки Хубсугульского месторождения (на Онголигнурском участке) вскрыты "пластовые" фосфориты тонкослоистой, полосчатой текстуры - непрозрачные черные фосфата толшиной от 0.1 до 2-5 мм, распадающиеся на ряды мелких линзочек. часто с кулисообразным расположением: они с подчиненными по толщине более светлыми карбонатными имеющими тончайшее слоисто-волокнистое строение (табл. II, фит. 3). Эти слойки являются элементами биострома с характерной водорослевой текстурой, в которой переплетены округлые и причудливоузорчатые выделения, с карбонатом в интерстициях. Светлые карбонатные слойки, прослаивающие фосфат, обладают типичной для строматолитовых слойков текстурой перемежающихся "волокон", "микробиогермной". В них включены мельчайшие выделения черного непрозрачного фосфата, огибающиеся, обволакиваемые микрослойками карбонатного состава с типичной микростроматолитовой (табл. II. фиг. 4).

Перейдем к кремнистым отложениям, ассоциирующим с фосфатоносными пластами в Алтае-Саянском фосфоритоносном бассейне. Силициты в АСО разбросаны по разрезам мощных карбонатных толщ докембрия и кембрия, где залегают в форме линз и "штоков", иногда
мощных (десятки метров), но коротких (десятки, сотни метров),
резко переклинивающихся с вмещающими карбонатами /9, с.170/. Такой характер залегания, а также отчетливые признаки перераспределения кремнезема и замещения им первично некремнистых образований /ІО, с.8І-85/ позволили в прошлом сделать предположение о
"катагенетическом" происхождении этих силицитовых масс.

Распознавание водорослевой текстуры в кремнистых породах фосфоритоносного разреза Каратау позволяет по-иному увязать вышеперечисленные явления. Все сказанное относительно пород кремневого горизонта чулактауской свиты Каратау относится и к тем кремням, с которыми ассоциируют древние фосфориты в Алтае-Саянской области и ХФБ. Макро- и микротекстуры их обладают большим сходством с кремнистыми стратиформными фитолитами чичканской и чулактауской свит Каратау, в чем можно убедиться сравнением их текстур (см. фиг.5, на табл. II и рис. IO, а также рис. II и фиг. I-2 на табл. I2).

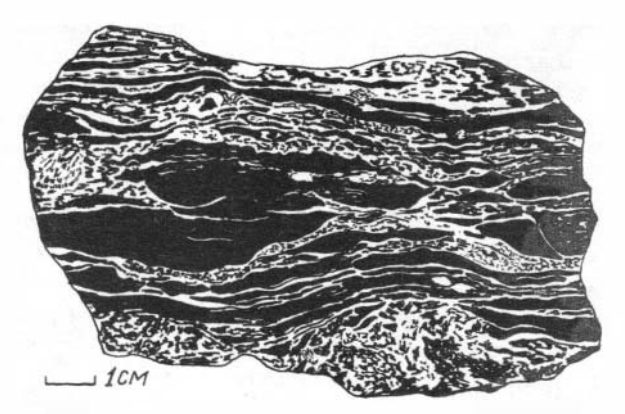


Рис. IO. Зарисовка среза образца кремнистой породы. Черное — линзослойки сплошного кремня, светлое — тончайшеслоистые кремнистые слойки с типичной "волокнистой" ламинитной текстурой. Близфосфоритовый горизонт, Батеневский кряж, АСО, мартюхинская свита у пос. Боград.

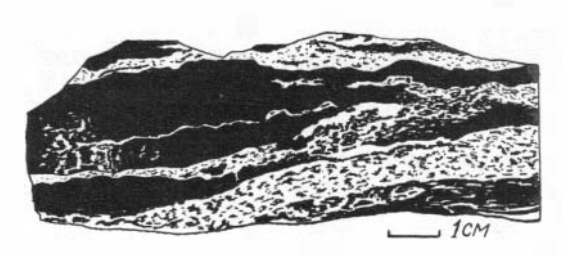


Рис.II. Кремнистые слойки (черное) с водорослевой текстурой в светлом доломите. Чичканская свита, Каратау.

Таким образом, кремневие тела в фосфоритоносних карбонатних формациях Алтае-Саянской области, являются тоже биогермами и биостромами, строение которых осложнено постдиагене тическими процессами в результате регионального стресса, обусловившего местами достижение породами этих формаций начальных стадий метаге-

неза. Особенностью кремнистых фитолитов фосфоритоносных формаций АСО и ХФБ является очень незначительное развитие легко распознаваемых выпуклых макроформ и доминирование тонкостратиформных построек, в том числе микроскопических. Как и в Каратауском сейне, фосфатные строматолиты АСО могут тесно переплетаться кремневыми или карбонатными, залегая "червячковидными" в речном сечении линзослойками (табл. 12. фиг. 3). Стратиформные фитолитовые образования тончайших размеров пронизывают целые пачки в разрезе древних толщ Алтае-Саянской области, и в целом фитолиты подобной формы и размеров могут считаться породообразующими. Многие из послойно развитых в этих толшах стратиформных "конкреший" кремнезема тоже являются, как показывает микроскопическое их изучение, замещенными кремнеземом биостромами, или биогермами; иногда с несколько видоизмененной формой по сравнению с первичным контуром, вследствие перераспределения кремнезема в пропессах диагенеза и катагенеза.

# 5. O CTPATUIPAQUIECKOM И ПАЛЕОГЕОГРАФИЧЕСКОМ РАСПРЕДЕЛЕНИМ СТРОМАТОЛИТОВЫХ ФОСФОРИТОВ КАРАТАУ

Информация о размещении строматолитових фосфоритов по площади фосфоритоносного бассейна, а также по разрезу продуктивной толщи, вместе с данными о распределении нефосфатных фитолитов могла бы оказать существенную помощь при интерпретации обстановок фосфоритообразования. Изучение такого распределения желательно осуществлять по классам фитолитов, предварительно их расклассифицировав. Мы пока не имеем такой возможности, вопрос только поставлен. Требуется детальная проработка петрографического материала с участием специалистов по строматолитам.

Однако некоторые качественные выводы уже можно сделать. Прежде всего следует отметить, что фосфатные макрофитолиты (купола, столочатые) вместе с заметным количеством микрофитолитов обнаружены в зоне сокращенных разрезов фосфоритоносной формации.

Месторождения Тьесай и Джетымтал со столбчатыми и куполовидными строматолитами находятся в одной и той же зоне — прибрежной. Разрез проявления Актас, где отмечены макроскопические фосфатные алгал—ламиниты и слои из крупных фосфатных интракластов строматолитовых построек, тоже сильно сокращен, располагаясь на выклинивании продуктивной части чулактауской свиты. Заметное количество водорослевых слоистых фосфатных корок обнаруживается в фосфоритовых слоях на месторождении Джилан, которое имеет еще более сокращенный разрез продуктивных горизонтов, чем Тьесай.

Как было отмечено ранее, фосфатные водорослевые неяснослоистые биостромы в виде черных афанитовых прослоев, облекающих
неровности субстрата и переходящих по простиранию в брекчии,
встречаются в Каратауской фосфоритоносной формации с самых нижних слоев КШС и в НД. По существу, все доломитовые слои КШС являются в основной массе фитолитовыми, а "нижний" доломит, согласно покрывающий КШС, сложен водорослевыми образованиями практически целиком, имея в верхней своей части столочатые, ярко выраженные постройки. В целом в разрезе фосфоритоносной формации
карбонатные строматолитовые постройки в НД наиболее хорошо выражены на площадях ее сокращенных разрезов.

Кремневий горизонт включает типично выраженные строматолитовые постройки тоже в зоне сокращенных разрезов формации (Тьесай, Актугай, Джилан, Беркуты). Биостром "базальный фосфорит" кремнисто-фосфатного состава в основании КГ развит везде, а в зонах сокращенных разрезов КГ, имеющем практически повсеместно текстуру биострома, в "базальном фосфорите" появляются наиболее ясно выраженные выпуклые и вогнутые формы построек. Видимо, стратиформные постройки являются производными более спокойных вод чем те, в которых формировались столбчатые и куполовидные.

Количество фитолитов уменьшается на уровне НФ. Здесь развиты мелкие карбонатные купола в кремнях, мелкие кремневые и фосфатные слойки-пленки и изобилуют фрагменты дезинтегрированных фосфатных строматолитовых построек, но много фосфатных ламинитов.

На уровне сланцевой пачки фосфатние фитолиты уже вовсе не отмечаются, здесь только переотложенный материал; хотя иногда, например, на месторождении Аксай, встречаются крупные (до I см) карбонатные онколиты, приуроченные к моментам существенного обмеления (наблюдались непосредственно под интенсивно ожелезнен-

ной поверхностью размыва в разрезе месторождения Аксай). Условия для формирования фитолитов во время отложения СП возникали в моменты отложения фосфоритных конгломератов, среди галек которых (как в СП, так и в  $В\Phi$ ) фиксированы мелкие (размером в несколько сантиметров) карбонатные столбики.

На уровне ВФ отмечаются редкие тонкие (до I-3 мм) отдельные фосфатные афанитовые слойки в фосфорите, представляющем разновернистый песчаник, состоящий из переотложенных фосфатных пеллет, оолитов, обломков фосфоритов различной структуры. Изредка встречаются 2-5 сантиметровые прослои фосфатных алгал-ламинитов. Выше, начиная с уровня ЖМГ, резко и заметно возрастает удельное количество фосфатных фитолитов. Этот горизонт в зонах сокращенных разрезов фосфоритоносной формации содержит до 3-4 слоев фосфатных ламинитов толщиной до 5-20 см, по простиранию распадающихся на плоские обломки.

В верхах БД отмечается до 2-3 уровней фосфорит", в кровле толщиной до IO см, в том числе "завершающий фосфорит", в кровле БД /см.I2, с.IO5/. Доломиты горизонта БД почти по всей мощности имеют комковато-водорослевую текстуру /см.I2, рис.56/, аналогичную текстуре средней части НД.

Такой же комковатой водорослевой текстурой обладает "верхний карбонат" — горизонт А /см.I2, с.I08/, налегающий на БД. В горизонте А, как и в НД, кроме фитолитовой текстуры карбоната фиксируются фосфатизированные хард-граунды /I2, рис.59/ в виде черных корок, обильно насыщенных мелким фосфатным биодетритом.

Таким образом, распределение фосфатных фитолитовых образований в разрезе фосфоритоносной формации Каратау в первом приближении одинаково с распределением преобладающих карбонатных фитолитов: максимумы — в низах и верхах формации, т.е. в периоды максимального мелководья.

Наибольшим удельным количеством карбонатных фитолитов обладают "нижний доломит" и "железо-марганцевый горизонт" - типично мелководные образования часто осущающейся зоны бассейна. Средняя часть формации отлагалась на этапе большего погружения. На этом уровне сначала (во время НФ) формировались преимущественно фосфатные корки и пленки, а также сферические фитолиты — оолиты и пизолиты, оболочки которых наслаивались на обломочках фосфатных слойков, иногда и на других нефосфатных частицах (кварц, карбонат).

Дальнейшее погружение (во время формирования СП) существенно затормозило фитолитообразование, но на отдельных поднятых участках продолжался рост биостромов и мелких биогермов того же типа, который характеризует верхнюю часть КГ (Джилан, Беркуты, Дегерес). После отложения СП началось обмеление, но не постепенное, которое повторило бы последовательность в обратном порядке, а резкое: в составе Вр фиксируется в основном механически переотложенный бассейновый материал, разбавленный терригенным. В последующем прогрессирующее обмеление привело к повторению в обратном порядке тех условий, которые имели местс во время образования "нижнего доломита". ЖГ, БД и горизонт А вместе составляют, по существу, гомолог перевернутого разреза "нижнего" доломита. В это время вновь формируются аналогичные фосфатные биостромы.

Обилие фосфатных макрофитолитов сопровождается обилием в окружающем пространстве крупных фосфатных пизолитов с толстыми корками обрастания. В межстолочатом пространстве фосфатных биогермов и в фосфатных биостромах Каратау отмечается заметное (хотя в абсолютном количественном выражении незначительное) присутствие глауконита, конформно заполняющего поры и изредка встречающегося в виде зерен. Нередко (и не только в ЕМГ) отмечается ассоциация фосфатных строматолитовых построек с марганцевистыми выделениями. Наиболее ярко выражена ассоциация фосфатных биостромов с поверхностями размыва.

Итак, в Каратау, на карбонатной платформе Янцзи Китая, в разрезе Хубсугульского месторождения МНР основная масса фосфатних строматолитов одинаково сосредоточена в нижних частях продуктивных толщ, хотя в общем фосфатные фитолитовые образования в виде тонкополосчатых маломощных наслоев рассеяны по всему разрезу. Такое же "нижнее" положение строматолитовых фосфоритов или, по крайней мере, их преобладание в низах фосфоритоносной формации было подмечено Н.А.Красильниковой и Р.К.Пауль на площади Белкинского месторождения в Горной Шории /24/.

Отметим также, что четко выраженные (столочатые, куполовидные) строматолитовые фосфориты ассоциируют с хард-граундами, как и с рядом других признаков мелководности порождающей их акватории; причем мелководности максимальной относительно условий, в которых формировались смежные части разреза.

Говоря о распределении фосфатных строматолитов, следует

учесть, что значительная масса их рассеяна в виде корок и пленок, не поддающихся количественному подсчету, для чего надо выработать какие-то приемы. Частоту их погоризонтальной встречаемости желательно установить.

## 6. ОБСУЖДЕНИЕ РЕЗУЛЬТАТОВ. РОЛЬ МИКРООРГАНИЗМОВ В ПРОЦЕССЕ ФОСФОРИТООБРАЗОВАНИЯ

Итак, строматолитовие фосфорити не уникальни. Представления об их необичности возникали вследствие редкости случаев их распознавания, узкого распространения информации о строматолитовых постройках, особенно об их стратиформных разновидностях. Теперь, после массовых находок строматолитовых фосфоритов на месторождениях микрозернистых фосфоритов в КНР и в Каратау и в связи с выявлением интракластовой природы фосфатных микрозерен, можно сказать, что именно фитолиты являются первичными формами минерализации фосфата в древние эпохи его накопления.

Наряду с такими легко опознаваемыми и наиболее характерными строматолитовыми постройками, как столбики, купола, бугры и прочие выпуклые макроформы, возникает большое количество плосконаслоенных (стратиформных) построек, а также вогнутых, замкнутонаслоенных (ооидных) и комковатых и прежде всего микроскопических размеров. Сказанное касается не только фосфатных, но также карбонатных и кремнистых фитолитов.

Некоторые постройки, образуя характерные, например, выпуклые макроформы, микроскопически представляют собой просто слойки микрозернистого фосфорита с бестекстурным криптокристаллическим фосфатным (коллофановым) матриксом. Если не принимать во внимание форму и ассоциацию с типичными фитолитовыми образованиями, то их легко посчитать за обычные кластические накопления с хемогенным фосфатным заполнением.

Судя по перемежаемости в разрезе строматолитовых построек карбонатных, фосфатных и кремнистых элементарных наслоев, можно считать, что эти три вида материала — фосфат, карбонат и кремне—

зем - одинаково могут формировать строматолиты, итеративно участвуя в минерализации бактериально-водорослевых матов или образуя практически мономинеральные фитолиты. Однако существует концещия, отвергающая возможность возникновения как фосфатных, так и кремнистых наслоев строматолитовых построек на границе осалка и волы, вследствие существенного отличия условий их сравнительно с условиями фиксации карбоната. Например, известно, что жизнедеятельность водорослей повышает рН в пространстве мата и это осаждает в нем карбонат, но кремнезему для садки необходимы более "кислые" условия или еще более щелочные. Поэтому, ласно данной концепции, фосфатные и кремнистые строматолитовые постройки и онколиты могут создаваться только как результат мещения первично карбонатных фитолитов в диагенезе, т.е. перекрытия первичной, всегда карбонатной постройки следующим слоем осадка, хотя бы и незначительным по мощности. При таком замещении полностью сохраняется первичная текстура предшествующей карбонатной постройки. Присутствие кремнистых и фосфатных фрагментов фитолитов на одном и том же стратиграфическом уровне (в пределах очень значительной стратиграфической детальности) говорит, согласно такой концепции, не о синседиментационном размыве фосфатных фитолитов, а о диагенетическом замещении карбонатизированных наслоев, их обломков, онколитов и т.д. что сейчас фосфатное или кремнистое, первично было карбонатным. Такая концепция, допускающая высочайщую избирательность диагенетического замещения и действительно иногда подверждающаяся наблюдениями /см. например, 8/, является неуязвимой (гипотезой ад hoc ) и может быть принята, при желании.

Представляется, что проще смотреть на процесс фосфатизации и окремнения, как и на процесс конкрециеобразования по органогенным включениям: если в рыхлом осадке с высокой еще влажностью фосфат и кремнезем стягиваются в пространство включения, обогащенного органикой, то то же самое может происходить и под "живым" наслоем органического мата, где его отмершая часть играет роль "включения", богатого ОВ. Параметры среды (по части рН и ир.), которые будут способствовать фосфатизации и окремнению, точно назвать вряд ли возможно. Здесь вероятен обширнейший диапазон относительных соотношений компонентов и, вследствие этого, разброс абсолютных значений конкретных локальных параметров

осаждения. Вероятно одно: замещение карбоната должно оставлять реликти. Квалифицировать же карбонатние включения в ином материале именно как реликти, да еще там, где прошла раскристаллизация, чрезвичайно трудно. Есть многочисленние примеры всевозможных переходов от чисто кальцитовых строматолитов к доломитовым и кремнистым. Не исключено, что удастся найти такие же переходы от известковых к фосфатным фитолитам.

В каратауском разрезе обращает на себя внимание обилие фосфатных интракластов на фоне большой редкости кремнистых и почти полное отсутствие чисто кремнистых оолитов и пизолитов. Можно думать, что процесс силификации водорослевых матов происходил позднее фосфатизации и, возможно, уже в фиксированной — не включающейся в бассейновий размыв — толще осадков.

В итоге пока можно только констатировать, что механизм образования фосфатных строматолитов еще не уяснен с достаточной полнотой, в этой области продолжается дискуссия и выдвижение предположений.

Говоря о вероятном времени фосфатизации, логично опираться на аналогию с замещением находящихся в осадке органических материалов - мятких частей организмов, древесины и т.п. К. Моллера /57/ показано, что фосфатизированная органика сохраняет в ископаемом состоянии мельчайшие детали первоначального строения. Например, у фосфатизированных остракод сохраняются все внешне заметные органи. Вывод один - фосфатизация тканей происходит немедленно или через не очень продолжительное время после отмирания, когда их скульптура еще не успела деформироваться. Пока нет ответа на вопрос, где именно возможна фосфатизация? Ведь не везде и не всегда органика фосфатизируется. Очевидно, требуется хотя бы присутствие фосфата в водах, но возможно, в несколько повышенных количествах. В какой степени повышенных? В каких именно водах - иловых или наддонных? Тоже не совсем это ясно, но можно сказать, что фосфатизация организмов с продемонстрированной К. Моллером сохранностью деталей строения может происходить только вскоре после консервации остатка; "голови" выпуклых фосфатизируемых водорослевых построек, находящиеся над поверхностью дна, видимо, консервируются вышенаслоенными элементами постройки.

Скорее всего, существо фосфатизации и окремнения - это соз-

дание органикой в занимаемом ею пространстве такой обстановки, где растворенные компоненты способны минерализоваться, заполняя место, обедненное кислородом, который был удален в процессе окисления отмершей органики. Процесс фосфатизации может происходить в пространстве, заполненном жидкостью или какой—то легко проницаемой массой (илом), а также в относительно плотной лити—фицированной среде, что бывает при формировании стяжений. Бактериально—водорослевые органические маты — та же пористо—проницаемая масса. Тем более, что есть сведения о способности сине—зеленых водорослей накапливать в себе фосфор до 20 % при недостатке его на предшествующей стадии /см. 68 и 25/, а известно, что "затравки" в виде некоторой локальной концентрации элемента в осадке очень часто стимулируют его дальнейщую аккрецию.

Несмотря на високую детальность нашего изучения отложений фосфоритоносной свиты Каратау, в ней нигде не удалось обнаружить трещин усыхания на поверхностях наслоения. Однако много знаков ряби. Получается, что фосфатизация водорослевых матов происходила на небольших глубинах, но без осущений. Вместе с тем, как пишет Харди Лоуренс А. /52/, только на приливно-отливных равнинах существуют условия для формирования и сохранения слойчатых водорослевых образований. Это как будто бы противоречит отсутствию трещин усыхания, но возможно, для древних отложений все было несколько иначе; главное — это заключение о формировании слойчаных фитолитов на небольших глубинах /30/.

Образование водорослевых матов — процесс очень быстрый. Фосфатизация, ввиду обилия переотложенных фосфатных фрагментов фитолитов, скорее всего, имела место вскоре после консервации слоевищ. Непрерывный процесс фосфатизации органических матов и их разрушение на мелководье порождал постоянно действующий и обильный источник фосфатных интракластов, зерен; часть их тут же обволакивалась органической слизью, которая в свою очередь както фосфатизировалась. Возникающие таким образом зерна с оболочками (оолиты) вместе с оставшимися непокрытыми фрагментами фитолитов или иных фосфатизированных элементов (пеллеты, пелоиды) сносились в пониженные участки дна или следовали еще куда-либо согласно течениям, вступали в процесс детритного осадконакопления.

Заметим, что толщи карбонатных пород, имеющих строматолито-

вую текстуру, далеко не всегда являются насыщенными органикой. В ряде случаев известняки водорослевого происхождения отличаются чистотой в отношении органики, и в большинстве строматолитовые карбонатные породы имеют светлую окраску. Это происходит вследствие того, что такие строматолитовые постройки возникают преимущественно на аэрируемом мелководье, где их органический материал после отмирания быстро "сгорает" или переходит в составе интракластов в осадок, находящийся вне восстановительной обстановки.

По сравнению с карбонатами фосфат ведет себя иначе. Он предпочитает минерализовываться в пространстве биогенных построек только в восстановительной обстановке (которая может возникать и на мелководье), о чем говорит постоянная насыщенность первичных фосфатных образований органикой, всегда дающей характерный запах при раскалывании или истирании невыветрелых фосфоритов.

Таким образом, если карбонатный материал повсеместно **-и**дп сутствует в морской воде и извлечение его биохимическими процессами, происходящими и в окислительной среде, возможно повсеместно, то фосфатизация, как и окремнение строматолитовых построек. очевидно, может осуществляться далеко не везде. Возможно, процесс возникновения фосфатных строматолитов принципиально близок к тому, который описан Г.И.Бушинским как выпадение из иловых вод /5/, что впоследствии было принято многими дователями. Аналогичен процесс фосфатизации фораминиферовых илов, где полости раковинок играют ту же роль, что и иловые поры; в ограниченном пространстве между зернами или внутри раковинок раствор пересыщается фосфором, и идет замещение им карбонатных частей осадка /60/. Фосфатный метасоматоз карбонатных органических элементов осадка, как и всякий метасоматоз, избирает более проницаемые направления. В этом отношении органогенные включения (обломки раковин, костей, растительные остатки, словом, всевозможный биодетрит, а также водорослевые слоевица) это своего рода "трубопроводы" для избирательного диагенетического метасоматоза и вместе с тем элиминаторы кислорода.

Фиксация фосфатов интегральной массой микроорганизмов-строматолитообразователей в древние эпохи являлась начальной стадией процесса формирования фосфоритов. В некоторых районах образование водорослевых биостромов захватывало большие площади в де полос, например в Хубсугульском бассейне. В отличие от таких фосфоритоносных бассейнов, как Каратау, Джорджина, Янцзы, в Хубсугульском возникающие стратиформные фосфатные строматолиты разрушались волнениями. Пакеты фитолитовых наслоений преобразовывались в основном лишь диагенетическими процессами, с незначительной механической переработкой. Только в южной фосфоритоносной полосы Прихубсугулья (месторождение Бурэнхан) можно в большом количестве встретить обломочный и окатанный фосфатный материал вместе с терригенным (кварц). Примечательно, что тенденция в сторону обмеления к району Бурэнханского месторождения подчеркивается и тем, что в надфосфоритовых слоях, а возможно и в межфосфоритовых (?), здесь присутствует рифоидная хеопиатовая фауна, в то же время во всем разрезе как фосфоритоносных отложений, так и в надфосфоритовых слоях Хубсугульской группы месторождений рифогенные элементы отсутствуют.

Фитолитовые фосфориты Алтае—Саянской области тоже лишь в редких случаях носят признаки переотложения, как правило, незначительного— в виде накоплений интракластов гравелитовой размерности. В отличие от Хубсугульской группы месторождений фосфатные биостромы здесь не выдержаны, но тоже большей частью сохранялись от размыва.

Очень важно, что в отложениях и Алтае-Саянского, и гульского фосфоритоносных бассейнов, представляющих в палеотектоническом смысле мелководные карбонатные платформы шельфа, продуктивных уровнях не отмечается четких признаков близости береговой линии. В Каратау же близость суши, располагавшейся югозападнее полосы выходов фосфоритоносной формации, прослеживается довольно уверенно /12, с.154-155/. На начальной стадии развития бассейна и по его периферии здесь фиксируются следы значительной подвижности вод, интенсивной близбереговой деятельности течений и волноприбойных колебаний /І2, с.145-149/. К.Т.Табылдиевым Л.Ф.Чербяновой /33/, В.Н.Холодовым /35/, А.М.Тушиной и др. на основе сравнительных литологических исследований носной формации Каратауского бассейна составлены литолого-палеогеографические схемы для ее времени. Все эти построения сходным образом показали существование прибрежных юго-восточной части бассейна и относительного прогиба в северо-

западной, куда сносился детритний материал. По Л.Ф.Чербяновой /37/, в качестве первичного фосфатного материала, осаждавшегося химически, принимаются криптозернистие фосфориты, которые затем. механически разрушаясь, перемалываясь, давали зернистый ный материал. накапливающийся слойками по пути течений. можно сказать, что эти исходные слои криптозернистых фосфоритов скорее всего были стратиформными (а в наиболее мелких зонах выпужлыми) фосфатными строматолитовыми постройками. Их размыв давал основную массу фосфатных пеллет и прочих интракластов.Следует предположить, и это подтверждается в ряде контрольных случаев. что стратиформные фосфатные строматолиты ранее описывались как "колломорфные фосфатные слойки", "криптозернистые фосфориты", "скрытокристаллические фосфориты с ленточной текстурой", фориты неясновернистые" и т.п. Л.Ф. Чербяновой /37/ отмечено, что накопление "колломорфного" фосфатного осадка происходило в делах всего бассейна, независимо от глубины. Учитывая, что именно наиболее мелководные зоны видимой сейчас части бассейна держат максимальное количество фосфатных и нефосфатных строматолитовых построек и вместе с тем максимально насыщены крупными и/или неокатанными интракластами фосфатных слоевиш. можно гать. Что основным генератором и поставшиком фосфатных зерен являлись именно эти мелководные зоны с периодическими размывами осадков. Эффективность действия такого "фосфатного механизма", по выражению С. Риггса /29/, требовала, думается, только времени поддерживания некоторого нормального (вовсе не обязательно высокого) уровня содержания фосфата в водах. Накопление разрушенных и переотложенных продуктов дезинтеграции фосфатизированных органогенных построек и приводит к образованию микрозернистых фосфоритов, представляющих собой "фитолитовые" пески и алевриты, лагавшиеся вокруг мелководных зон интенсивного строматолитообразования. Фосфатное оолитообразование и формирование тояких рок-пленок фосфата имело гораздо больший ареал распространения и большие глубины формирования. Однако вклад тонких фосфатных строек в общую массу минерализованного фосфата скорее всего незначительным, вследствие незначительности их размивов и быстрого захоронения под механически накапливающимся осадком. Основной вклад в наращивание фосфоритовых залежей Каратау. давали интракласты от непрерывно возникавших и разрушавшихся

биогермов и биостромов мелководья и оолитовые оболочки на интракластах.

\* \*

Подведем итоги. Идея о решающей роли жизнедеятельности организмов для фосфоритообразования появилась еще в прошлом в качестве "биолитной гипотезы" /см.5, с.167/. Впоследствии идеи А.В.Казакова, как было отмечено в самом начале, оказали большое влияние на ход исследовательской мысли, стимулировав уклон сторону существенно хемогенной концепции осаждения фосфатов морских бассейнах, несмотря на параллельно развивавшуюся биохимическую гипотезу (Г.И.Бушинский) /5/, придающую решающее значение диагенезу осадков. Поэтому вначале выявляемым "пластовым" полосчатым криптозернистым (афанитовым) фосфоритам, того, что они казались очень однородными, нередко приписывалось хемогенное происхождение. Расхождения возникали лишь по вопросам исходного источника фосфора (? океанический, ? континентальный, ? вулканический); по вопросам роли вод-осадителей и их характера; по конкретизации механизма перевода фосфата из растворенной твердую фазу.

Однако уже в середине 70-х годов стали появляться высказивания о том, что древние "первичные" полосчатые и линзовидно-полосчатые фосфориты, состоящие из мономинеральной фосфатной массы, чередуждиеся с близкими по форме и размерам бесфосфатными (карбонатными или кремнистыми) слойками, "не обязательно могут быть продуктами хемоседиментации", а могут возникать и в результате органогенного фосфатонакопления /40/. Этому предшествовали публикации, в которых улавливались косвенные связи фосфатонакопления с водорослевыми образованиями, строматолитовыми "рифами" /4/. Если вначале в каратауском разрезе строматолиты (карбонатные) видели только в НД и ЖМГ, то теперь удалось установить, что первично строматолитовыми являются почти все карбонатные и крем-

нистые образования фосфоритоносной формации Каратау. А еще ранее возникло представление о том, что поставщиком зернистого фосфатного материала были слои криптозернистых фосфоритов /33, с.94/. Следовало точнее выяснить, что собой представляют последние. Термин "интракласты" у нас тогда еще почти не применялся.

Одновременно в Китае утвердился взгляд на фосфатные зерна синийских и нижнекембрийских месторождений как на бассейновые интракласть /27/. В аналитическом резюме по проблемам "фосфатной геологии", обсуждавшимся на ХХУП сессии МТК Э.Л.Школьником /39/, обращено внимание на то, что "седиментологических подтверждений химического осаждения фосфата практически не приводилось" (с.II0). В отношении же афанитовых слоистых фосфоритов Саяно-Хубсугульского и других бассейнов, — пишет Э.Л.Школьник, — "нельзя безоговорочно согласиться с утверждением, что они образовались в результате химической садки" (с.II0). Подобная точка зрения более развернуто изложена в /4I/, где обосновывается осадочно-диагенетическое происхождение афанитовых фосфоритов Харанурского месторождения (северная окраина ХФБ): путем замещения обогащенного органикой (водорослевой, например) ила.

Теперь можно сказать, что мы вплотную подошли к идее об исключительно диагенетическом характере механизма первичной фиксации фосфатов в донных образованиях и интракластовой природе непокрытых фосфатных зерен. Оставалось только распознать строматолитовую сущность слоистых криптозернистых фосфоритов. Это и сделано в данной работе на основании сравнений микроструктур и микротекстур афанитовых фосфатных слоев и пеллет, а также сравнения
форм залегания афанитовых фосфатных слойков и слоев высококачественных зернистых фосфоритов (с афанитовым фосфатным цементом)
с аналогичными характеристиками из типовых строматолитовых фосфатных построек. С помощью СЭМ в образцах из микросфоритов НД и
КШС Каратау выявлены фосфатизированные органические остатки,
сходные с водорослями (см. табл. I, фиг. 2, 3).

Ряд последних работ по детальному изучению фосфатных зерен различных месторождений /I3,50,65,67/ показал, что фосфат оолитовых оболочек пеллет и их ядер развивается по органической массе отмерших микроорганизмов. Т.Лука и Л.Превс /26/ экспериментально показали, что фосфатные образования возникают (с замещением карбонатных остатков организмов) очень бистро при какой-то,

пока еще неясной, стимуляции этого процесса участием бактерий. П.Саутгейт, осуществивший специальное изучение криптокристалли—ческих фосфатных корок — фоскретов /67/, выявил обволакивание выпадающим фосфатным микритом трубчатых микроэлементов (нитей) организмов, живущих на поверхности и в интерстициях горных пород и осадков. Предполагается, что такой процесс аккреции становится возможным при участии бактерий, поселяющихся на отмерших, но еще не разрушенных филаментах. Кайе был первым, — пишет П.Саутгейт, — кто еще в 1936 г. заметил взаимоотношения между бактериями и фосфоритами в отложениях всех возрастов. Добавим, что гипотеза о связи фосфатоосаждения с бактериями впоследствии, однако, воспринималась некоторыми скептически, вследствие неясности существа такого биохимического процесса и подозрения, что здесь причины и следствия поменены местами; в числе таких был и автор данной работы /Іо, с.157/.

Естественно, возникают новые вопросы и новые предметы исследований. В частности, вопрос о тех условиях, в которых вместо обычных карбонатных слойков по органическим покровам развивается фосфатная минерализация, если фосфатные постройки не есть продукт замещения всегда первично-карбонатных строматолитов. П.Саутгейтом /67/ высказана мысль о двойственной роли органического материала при фосфатоосаждении: I) как агента транспортировки фосфата на дно бассейна, в или; 2) как субстрата-осадителя.

Как бы ни было, фосфатизация строматолитовых построек, характеризующих именно очень мелководные зоны осадконакопления, говорит о неприхотливости этого процесса по отношению к насыщенности вод фосфором, что снимает множество вопросов. Фосфор, конечно же, присутствовал в водах, где формировались фитолиты, иначе покровы сине-зеленых водорослей, прикрепляющиеся ко дну организмы, не могли бы возникать. Образование фитолитов — это процесс, в котором в древние эпохи участвовали огромные массы органики и организмы—строматолитообразователи были почти единственными потребителями фосфора в морях.

Естественно, что распределение фосфата и кремнезема в этой мелководно-фотической области со значительной подвижностью вод было весьма прихотливым, меняющимся со временем, где периодичность и хаотичность накладывались друг на друга. Отсюда и сложность распределения фосфатных и иного состава строматолитов как

исходя из морфологии построек, так и по их структуре. Тем не менее, вышеприведенные регулярности, а также модели, описанные в /55/, показывают, что на каком-то уровне описания в распределении фосфатных фитолитов и их механогенных дериватов возможно выявление закономерностей и построение схем упорядочения.

Э.Л.Школьником (личное сообщение) подмечена регулярность такого вида: фосфатные органогенные образования (различные строматолиты, конкреции, включения), всегда обогащенные ОВ, находятся обычно на фоне в той или иной мере обедненной органикой среды; их возникновение требует контрастности по содержанию ОВ фосфатизируемых и нефосфатизируемых частей отложений; в однородной же по содержанию ОВ среде, даже если это высокое содержание, существенные концентрации фосфата не возникают.

Предстоит интересная и плодотворная работа по детальному исследованию фосфоритов, по их классифицированию — теперь уже с учетом тонкостей характера элементарных составляющих на предмет поиска упорядоченности в распределении классов, что позволит выявить и по-новому обосновать многие детали механизма фосфоритообразования. Дальнейшее изучение макро— и микротекстур различных классов фосфатных и кремнистых строматолитовых (в общем случае — фитолитовых) построек и, главное, их количественных соотношений, наверное, позволит лучше понять причины пространственной специализации их состава (фосфатного, кремнистого, карбонатного), глубже раскрыть природу древнего кремне— и фосфатонакопления, а также накопления некоторых других стратиформных залежей и стяжений осадочных рудных минералов.

В заключение считаю своим принтным долгом поблагодарить за помощь советами и за критическое обсуждение данной работы, что помогло её существенной проработке и, надеюсь, улучшению, коллег: Ахлувалия А.Д., Занина Ю.Н., Георгиевского А.Ф., Комара В.А., Пауль Р.К., Раабен М.Е., Семихатова М.А., Советова Ю.К., Хабарова Е.М., Чоудхури Р., Шенфиля В.Ю., Школьника Э.Л., Якшина М.С.

Необходимо также выразить большую признательность организации проекта I56 "Фосфоритн" Международной программы геологической корреляции, без которого выполнение представленной работы не было бы возможным.

#### ABSTRACT

Stromatolitic phosphorites (Late Precambrian) were established at first in Gornaya Shoria (Siberia) in 1958 and later discovered in India, China, Australia and other regions. Stromatolitic phosphorites discovered in Lower Cambrian phosphorite formation of Karatau basin (Kazakhstan), are described in this paper. The study of typical of them (domelike and columnar) allowed to identify phosphate stromatolites in the other portions of the formation. Here developed are sheet-like stratiform types of stromatolitic phosphorites, phosphate algal laminates and intraclasts of these buildups. Flat-laminated phosphatic stratiform stromatolites (pellicles, crusts) "penetrate" through "microgranular"phosphorites. The phosphate cortexes of colites are spherical fitclitic varieties (oncolites). And the structure of colite cores and coatless pellets often is identical to that of typical stromatolitic laminae.

Now we may believe that Karatau microgranular phosphorites appeared owing to the action of microsphorite-intraclast mecha - nism. The main part of these masses of oolite-pelletal phosphorites formed around shallow-water zones in the basin, where stromatolitic buildups (bioherms and biostromes) grew actively and were destroyed after phosphatization continuously and quickly. In other words, "microgranular" phosphorite of Karatau basin is "stromatolitic sand".

Comparative examination of Siberian and Mongolian ancient "bedded" microsphorites shows that all of them are stratiform phosphatic stromatolites too or their intraclasts. Chert horizons associating with these phosphorites of Karatau, Siberia and Mongolia are of similar origin: they appeared by means of silification of algal mats. Probably, phosphatization of algal frameworks is a universal way for phosphorite deposition in ancient epochs, when cianobacterial biomass of the sea basins prevailed.

In younger epochs the role of mineralizer agents passed to other groups of organisms (or organisms' remains), but the principles of fixation of phosphates - by means of influence of the organic matter - have been retained.

The author gives his thanks to the organization of the Project "Phosphorites" IGCP, without the help of which the given work would not be possible.

### JIMTEPATYPA

- І. Банерджи Д.М., Басу П.К., Сривастава Н. Петрология, минералогия, геохимия и генезис Араваллийских докембрийских фосфоритовых месторождений в Удайпуре и Джхабуа, Индия // Геология месторождений фосфоритов. М., 1983. С.223-258.
- 2. Батурин Г.Н. Фосфориты на дне океанов. М.: Наука, 1978. 232 с.
- 3. Бродская Н.Г. Роль вулканизма в образовании фосфоритов. М.: Наука, 1974. 200 с.
- 4. Бродская Н.Г., Холодов В.Н. О возможности рифогенного происхождения доломитов фосфоритоносной толии Малого Каратау // Докл. АН СССР. 1965. Т.165, & 6. С.1365-1368.
- 5. Бушинский Г.В. Древние фосфориты Азии и их генезис. М.: Наука, 1966. 226 с.
- 6. Воронова Л.Г. Кембрийско-ордовикские водорослевые постройки Малого Каратау и их сравнение с кембрийскими органогенными постройками Алтае-Саянской складчатой области // Кембрий Алтае-Саянской складчатой области. М., 1980. С.172-174.
- 7. Гиммельфарб Б.М., Тушина А.М., Смирнов А.И., Маймистрова Р.И. Геологическое строение и типн руд фосфоритового месторождения Джани-Тас // Геология месторождений фосфоритов. М., 1962. С.71-131.
- 8. Гуревич Б.Г., Георгиевский А.Ф. Диагенез как рудообразующий фактор при формировании фосфоритов на примере Ухагольского месторождения (Восточный Саян) // Бюл. МОИП. Отд. геол. 1977. Вып.6. С.151-152.
- 9. Еганов Э.А. Геосинклинальные фосфориты Сибири и Дальнего Востока. М.: Наука, 1968. 228 с.
- IO. Еганов Э.А. Проблемы образования и размещения пластовых фосфоритов. Новосибирск: Наука, 1974. 183 с.
- II. Еганов Э.А. Структура комплексов фосфоритоносных отложений. Новосибирск: Наука, 1983. I36 с.
- 12. Еганов Э.А., Советов Ю.К. Каратау модель региона фосфоритонакопления. Новосибирск: Наука, 1979. 187 с.
- ІЗ. Занин Ю.Н., Горленко В.М., Миртов Ю.В. и др. Бактериоморфные образования в желваковых и зернистых фосфоритах // Геол. и геофиз. 1987. № 2. С.43-49.

- 14. Ильин А.В. Хубсутульский фосфоритоносный бассейн. М.: Наука, 1973. I68 с.
- I5. Ильин А.В. О так называемых геосинклинальных или пластовых фосфоритах // Бюл. МОИП. Отд. геол. I984. Вып.4. С.II2-I27.
- Іб. Ильин А.В. Ратникова Г.И. О фосфоритах Хубсугульского бассейна в Монголии // Литология и полез. ископаемые. 1971. № 1. С.63-75.
- I7. Ильин А.В., Ратникова Г.И., Сергеева Н.Е. О петрографических типах пластовых фосфоритов и их микроструктуре // Литология и полез. ископаемые. I975. № I. C.IO8-II9.
- I8. Ильин А.В., Яншин А.Л. IУ Международная конференция по фосфоритам // Литология и полез. ископаемые. I982. № 3. C.I25—I27.
- 19. Казаков А.В. Фосфатные фации. Л., 1939. 108 с. (Тр/ Научно-исслед. ин-та по удобрениям и инсектофунгисидам; Вып.145 ).
- 20. Карбонатные породы. Генезис, распространение, классифи-кация / Ред. Дж. Чилингар и др. М.: Мир, 1970. Т.І. 396 с.
- 21. Комар В.А. Строматолиты верхнедокеморийских отложений Севера Сибирской платформы и их стратиграфическое значение. М.: Наука, 1966. I22 с.
- 22. Красильникова Н.А., Гуревич Б.Г., Блисковский В.З. и др. Фосфориты Алтае-Саянской области // Литология и полез. ископаемые. 1965. № 4. С.161—181.
- 23. Красильникова Н.А., Гуревич Б.Г., Шмелькова Ю.Ф. и др. Фосфоритоносность древних отложений Алтае-Саянской складчатой области. М., 1968. I52 с. (Тр/ Гос. НИИ горнохим. сирья; Вип. I2).
- 24. Красильникова Н.А., Пауль Р.К. Строматолитовые фосфориты Горной Шории // Геол. и геофиз. 1983. № 1. С.63—68.
- 25. Лучинина В.А. Кембрийские водорослевые постройки и фосфоритогенез // Фанерозойские рифы и кораллы СССР. М., 1986. C.2II-2I5.
- 26. Лука Ж., Прево Л. Синтез апатита. К вопросу о новой модели генезиса осадочных фосфоритов // 27-й Междунар. геол.конгр.: Доклады. Секц. С.15. М., 1984. Т.15. Неметаллические полезные ископаемые. С.59-68.
- 27. Льянзун Э. Закономерности размещения фосфоритовых месторождений Китая // Там же. С.68-75.

- 28. Маслов В.П. Ископаемие известковие водоросли СССР. М.: Изд-во АН СССР, 1956. 302 с.
- 29. Риггс С.Р. Фосфоритовая седиментация на Флориде модель фосфоренной системы // Геология месторождений фосфоритов. М., 1983. С.85-141.
- 30. Серебряков С.Н. Особенности формирования и размещения рифейских строматолитов Сибири. М.: Наука, 1975. 176 с.
- 31. Смирнов А.И., Тушина А.М. Вещественный состав и генезис фосфоритов месторождения Ак-Сай // Геология месторождений фосфоритов. М., 1962. С.41-70.
- 32. Спандерашвили Г.И Фосфориты Горной Шории // Фосфориты Западной Сибири. М., 1965. С.14-55.
- 33. Табылдиев К.Т., Чербянова Л.Ф. Фациальные условия осад-конакопления фосфоритоносной толщи Каратауского бассейна // Литология фосфоритоносных отложений. М., 1976. С.76-97.
- 34. Тушина А.М., Усанова В.Г., Маймистрова Р.И. Литология и фации фосфоритоносных отложений Малого Каратау // Фосфориты Каратау. М., 1962. С.125-186.
- 35. Холодов В.Н. Осадочный рудогенез и металлогения ванадия. М.: Наука, 1973. 262 с.
- 36. Холодов В.Н., Корякин А.С. К вопросу о происхождении фосфатных конгломерато-брекчий Малого Каратау // Докл. АН СССР. 1960. Т.135, № 2. С.410-413.
- 37. Чербянова Л.Ф. Литологические особенности и условия формирования фосфоритоносной толщи хр. Малого Каратау: Автореф. дис. ... канд. геол. мин. наук. Алма Ата; 1977. 22 с.
- 38. Шатский Н.С. Фосфоритоносные формации и классификация фосфоритовых залежей // Избр. труды. Т.Ш. М., 1965. С.52-143.
- 39. Школьник Э.Л. Проблемы фосфоритов на XXVII сессии Международного геологического конгресса (аналитический обзор) // Тихоокеан. геология. 1985. № 2. С.109—II2.
- 40. Школьник Э.Л., Антипенко В.Г. О первичных фосфоритах Удско-Шантарского бассейна // Геол. и геофиз. 1976. № 3. С.132—136.
- 41. Школьник Э.Л., Ничипуренко О.И., Киенко Л.А. К вопросу о типах и разновидностях фосфоритовых руд Харанурского месторождения // Геол. и геофиз. 1986. № II. С.135-I40.
- 42. Ahluwalia A.D. A synoptic view of the palaeontology and petrography of the Tal phosphorite of Mussoorie Garhwal Hima-

- laya, India, with special reference to microcoprolloid particles // Symposium of 5-th Intern. field workshop and seminar on phosphorite. Vol.1. Beijing, Geol. Publ. House, 1984. P.223-225.
- 43. Ames L.L. The genesis of carbonate apatite // Econ. Geol., 1959. Vol.54. N 5. P.829-841.
- 44. Banerjee D.M. Study of primary layer properties in the Precambrian phosphorite depositional basins of India // Proterozoic-Cambrian Phosphorites. Eds. Cook. P.J. & Schergold J.H. Canberra, 1979. P.34-35.
- 45. Bashayal R.P. Stromatolitic phosphorite occurences in the Lesser Himalaya of far Western Nepal // Phosphorite. Spec. publ. Geol. Surv. of India, 1984. N 17. P.197-206.
- 46. Bhattacharya A.K. and Sengupta H.P. Depositional environment of phosphate associated with cherty stromatolitic dolostone of the Dhari member (Gangolihat Dolomite Formation) Pithoragarh district, Uttar Pradesh // Phosphorite. Spec. publ. Geol. Surv. of India. 1984. N 17. P.159-172.
- 47. Chauhan D.S., Sisodia M.S. Nature of Udaipur phoshorite and its genetic implications // Phosphorite. Spec. publ. Geol. Surv. of India. 1984. N 17. P.79-104.
- 48. Cressman E.R. and Swanson R.W. Stratigraphy and petrology of the Permian rocks of Southwestern Montana // Geol. surv. prof. paper, 313-C, 1964. 569 p.
- 49. D'Anglejan B. Phosphate diagenesis of carbonate sediments as a mode of in situ formation of marine phosphorites: observations in a core from the eastern Pacific // Canad. Journ. Earth Sci. 1968. Vol.5, N 1.
- 50. Dahanayake K. and Krumbein W.E. Ultrastructure of a microbial mat-generated phosphorite // Mineralium Deposita.1985. Vol.20. P.260-265.
- 51. Emigh G.D. Petrography, mineralogy and origin of phosphate pellets in the Phosphoria formation // Idaho Bureau of Mines and Geology: Pamphlet N 14. Moscow-Idaho, 1958. 60 p.
- 52. Hardie Lawrence A. Carbonate tidalflat deposition: ten basic elements // Quart. Colo Sch. Mines. 1986. Vol.81, N 1. P.3-6.
- 53. Krasil'nikova N.A., Paul R.K. Stromatolitic phosphorites of the Gornaya Shoria region, USSR // Phosphorite.Spec.publ. Geol.Surv of India. 1984. N 17. P.191-196.

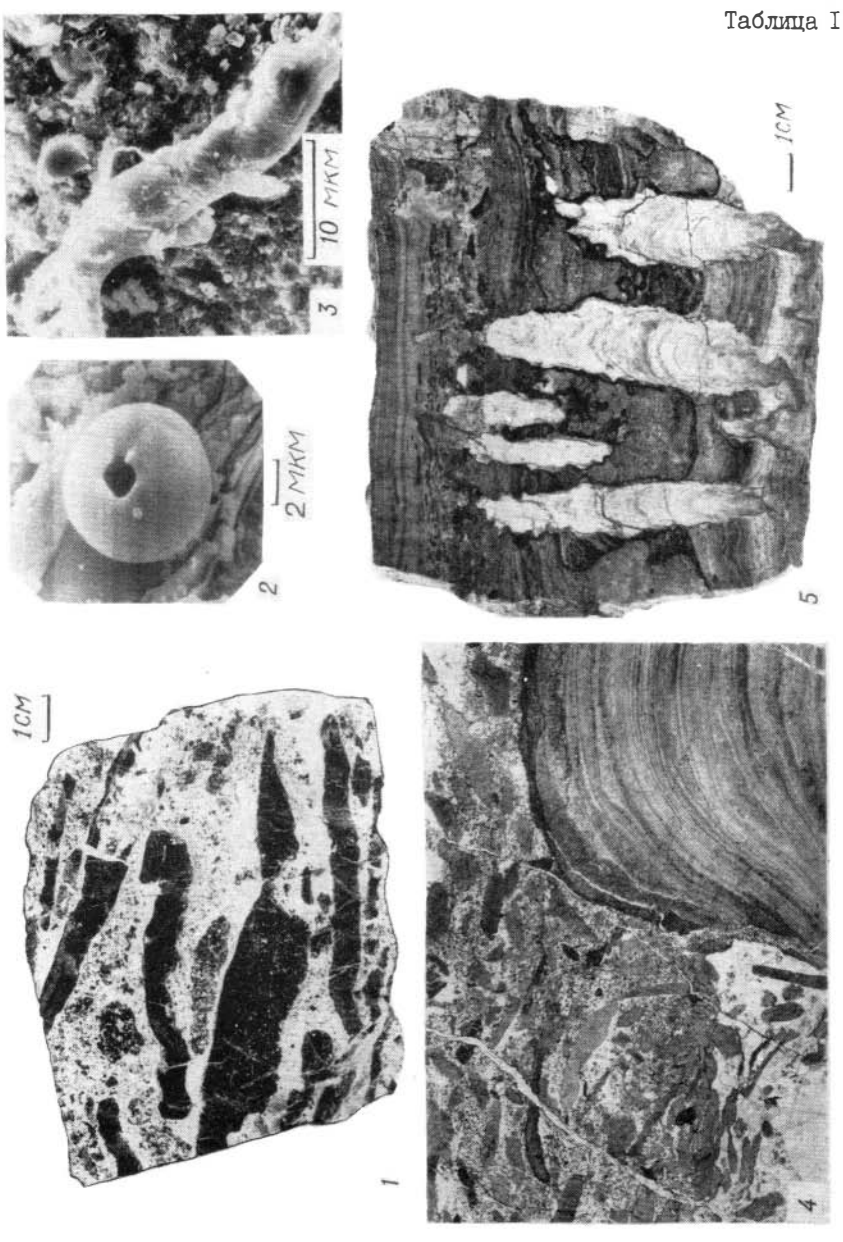
- 54. Liu Kuiwu. Mineralogy and petrology of Weng'an phosphorite, Guizhou // Symposium of 5-th Intern. field workshop and seminar on phosphorite. Vol.1, Beijing, Geol. Publ. House, 1984. P.330-348.
- 55. Meng Xianghua, Li Jianhua, Liang Chuanmao, Shan Mansheng, Liu Zhiying. Analysis of Upper Sinian to Lower Cambrian phosphatic sequences in Eastern China and the sedimentation models for phosphorite accumulation // Ibid. Vol.2. P.23-51.
- 56. Muktinath, Sant V.N. Occurence of algal phosphorite in the Precambrian rocks of Rajasthan // Current Sci. (India).1967. Vol.36. P.638.
- 57. Müller Klaus F. Further observations on the phosphatisation of fossils // Symposium of 5-th Intern.field workshop and seminar of phosphorite. Vol.1. Beijing, Geol. Publ. House, 1984, P.219-220.
- 58. Patwardhan A.M. New data on the Mussoorie phosphorites, Lower Himalaya // Proterozoic-Cambrian phosphorites. Eds.Cook P.J. & Shergold J.H. Canberra, 1979. P.43-44.
- 59. Patwardhan A.M., Panchal P.K. Some texural features of Mussoorie phosphorites // Phosphorite. Spec.publ. Geol.Surv. of India. 1984. N 17. P.147-158.
- 60. Pietzner Horst, Richter Gottard. Rezente Phosphoritbilding im auftriebsgebeit vor der NW-afrikanischen Küste // Senckenberg. marit. 1986. Bd.17, N 4-6. P.333-377. (РЖ. Геология. I987. 2AI4I).
- 61. Rouchy J.M., Monty Cl. Stromatolites and cryptalgal laminites associated with Messinian gypsum of Cyprus // Phanerozoic stromatolites. Case histories / Ed. by Claude Monty. Berlin, Heildelberg, New-York, 1981. P.155-180.
- 62. Sant V.N. Precambrian phosphorite of Rajasthan, India: a case history // Proterozoic-Cambrian phosphorites. Eds. Cook P.F. & Shergold F.H. Canberra, 1979. P.39-40.
- 63. Semikhatov M.A., Gebelein C.D., Preston Cloud, Awramik S.M., and Benmore W.C. Stromatolite morphogenesis progress and problems // Canad. Journ. of Earth Sci. 1979. Vol.16, N 5. P.992-1015.
- 64. Sheldon R.P. Dynamics of Development of Fertilizer Mineral Resources // Proceedings Fert. Row Conference, Honolulu,

- Hawaii, 1979. Honolulu: East West Centre, Hawaii Resource System Institute. P.13-22.
- 65. Soudry D. and Shampetier Iv. Microbial processes in the phosphorite of Negev // Sedimentology, 1983. V.30, N 3. P.411-424.
- 66. Southgate P.N. Cambrian stromatolitic phosphorites from the Georgina Basin, Australia/Nature, 1980. Vol.285, N 5764. P.395-397.
- 67. Southgate P.N. Cambrian phoscrete profiles, coated grains, and microbial processes in phosphogenesis: Georgina basin, Australia//Journ. of Sedimen. Petrol. 1986. Vol.56, N 3, P.429-441.
- 68. Southgate P.N. Proterozoic and Cambrian phosphorites specialist studies: Middle Cambrian phosphatic hardgrounds, phoscrete profiles and stromatolites and their implication for phosphogenesis // Phosphate deposits of the world / Eds. Cook P.F. & Shergold F.H. Cambridge university press. 1986. Vol.1. P.327-351.
- 69. Valdiya K.S. Origin of phosphorite of the Late Precambrian Gangolihat Dolomites of Pithoragarh, Kumaun Himalya, India // Sedimentology. 1972. Vol.19, N 1/2, P.115-128.
- 70. Verma K.K. Biogenic concept for the origin of stromatolitic Precambrian phosphorites of Western and Central India // Phosphorite. Spec. publ. Geol. surv. of India. 1984. N 17. P.41-46.
- 71. Zhang Guolian, Bai Hongyi. Early Cambrian phosphorites in South China // Symposium of 5-th Intern. field workshop and seminar on phosphorite. Vol.1, Beijing, Geol. Publ. House, 1984. P.53-74.
- 72. Zhao Zhongwei. The sedimentary facies and genetic mechanism of the Dougshanfeng phosphate mine // Ibid. Vol.2. P.111-122.
- 73. Zhou Maoji, Shen Zhangqi, Zhu Shixing. Sinian phosphatic stromatolites in South China //Ibid. Vol.1. P.136-137.
- 74. Zhu Shixing, Wang Yangeng. Phosphatic stromatolites in Kaiyang phosphorite deposits, Guizhou, China //Ibid. Vol.1. P.153-164.
- 75. Zhu Shixing, Wang Yangeng, Zhang Lin. Formation of the Kaiyang phosphorites in China as related to ancient microorganisms // Ibid. Vol.1. P. 191-208.

### ФОТОТАБЛИЦЫ И ОБЪЯСНЕНИЯ К НИМ

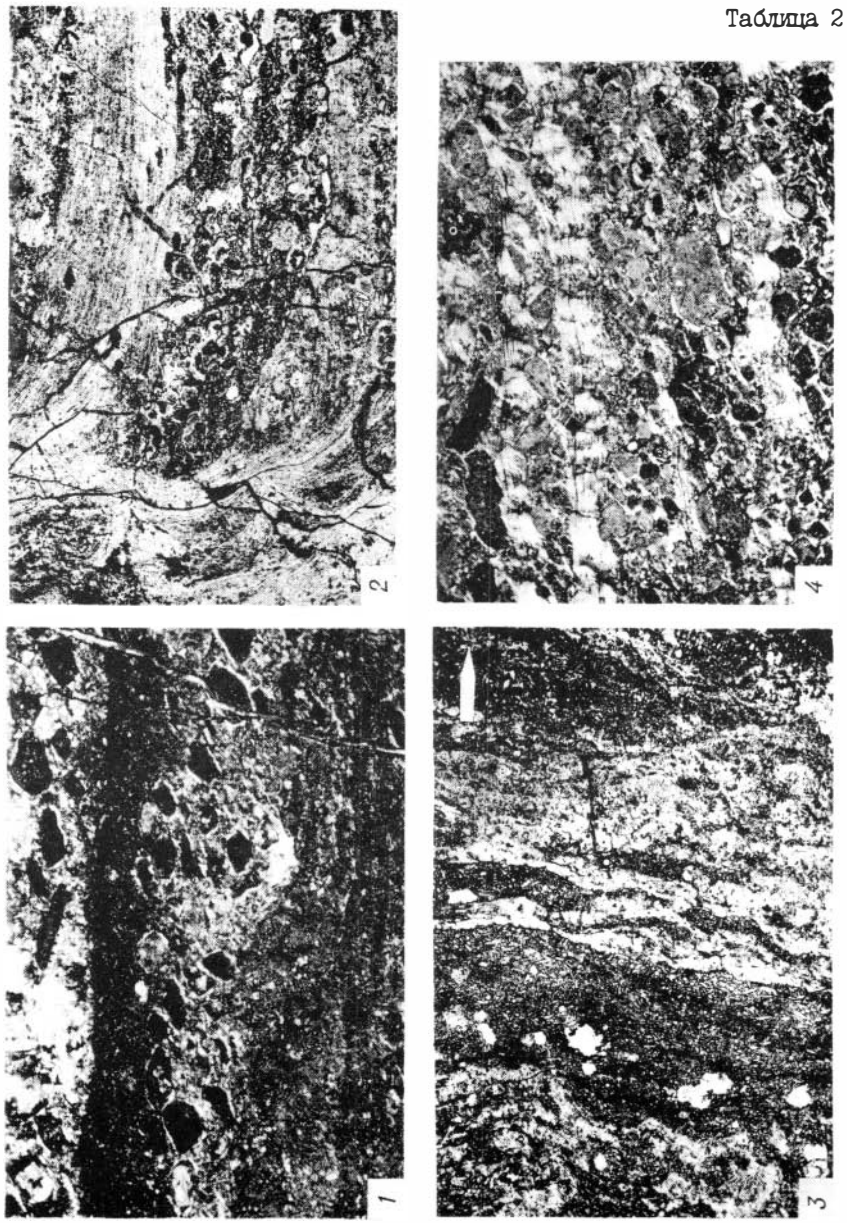
### Таблица І

- Фиг.І. Седиментационная брекчия из доломитового пласта в кыршабактинской свите (ниже НД) на месторождении Джанитас. Светлое доломит, черное фрагменты афанитовых фосфатных строматолитовых слоев. Срез образца.
- Фиг. 2. Фосфатизированный органический остаток глобулярной формы на сколе афанитового фосфорита, показанного на фиг. I. СЭМ.
- $\Phi$ ит.3. Фосфатизированный органический остаток из слойков черного афанитового фосфорита в доломите КШС на месторождении Аксай; тот же горизонт, откуда взят образец, показанный на  $\phi$ иг.I. СЭМ.
- Фиг. 4. Шлиф через кремнисто-фосфатную купольную строматолитовую постройку, окруженную обломками таких же построек и фосфатными зернами в кремнистом цементе. Слойки купола тонково-локнисто-наслоенный бесструктурный фосфат, обильно насыщенный кремневыми спикулами. Месторождение Тьесай, НД, х 2, николи II.
- Фиг. 5. Столочатие и полосчато-стратиформные кремнисто-фосфатные строматолиты с микрозернистым фосфоритом между столойками. Светлые столойки слагаются ламинами тонкокристалического апатита, перемежающимися с ламинами из кремнистого спонголита. Горизонтальные слоевица фосфатные. Месторождение Джетымтал, НФ. Срез образца.



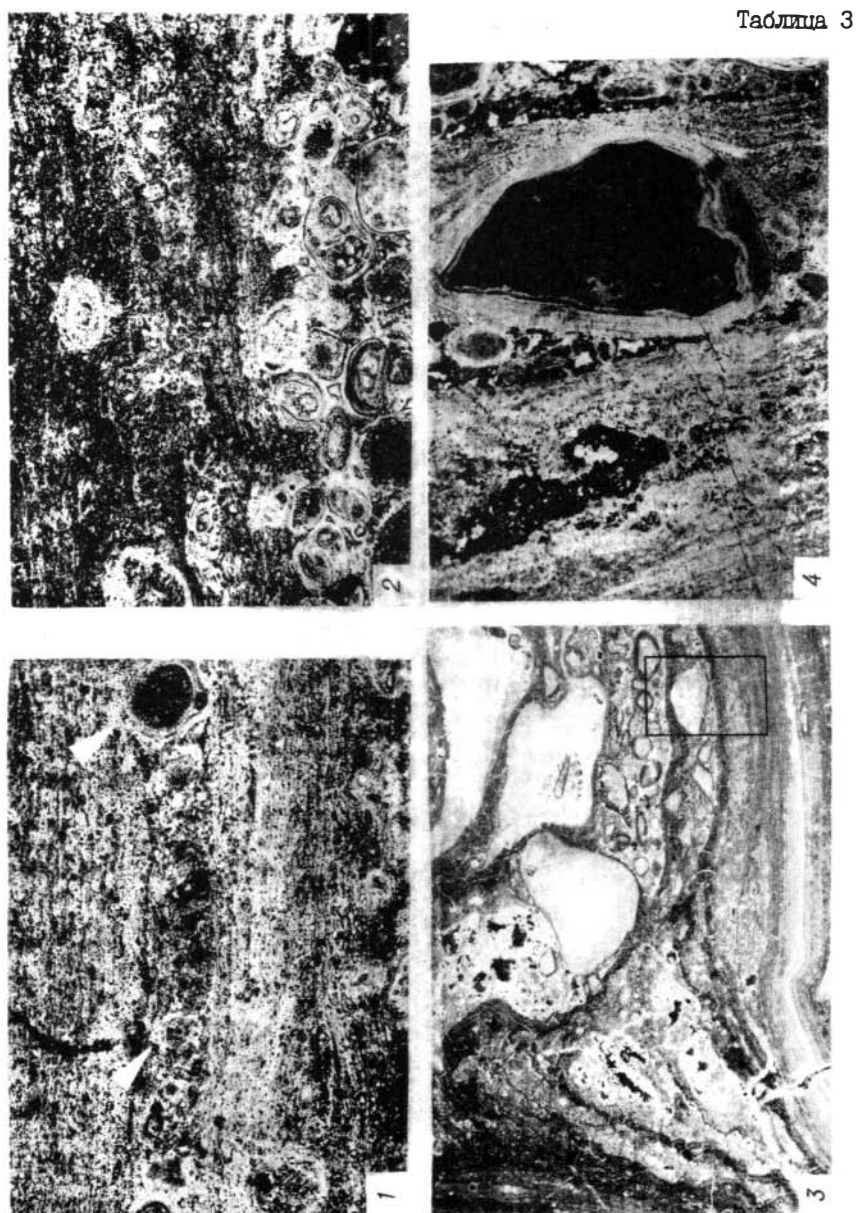
### Таблица 2

- Фиг.І. Наслои скрытокристаллического фосфата (темное), перемежающиеся со слойками-присыпками фосфатных зерен в фосфатно-карбонатном цементе. Шлиф из межкупольного пространства образца, показанного на фиг.5, табл.І. х 25, николи Х.
- Фит. 2. Шлиф из образца, показанного на фит. 5, табл. I; участок через боковую часть столбика строматолита (слева) и межстолбчатые горизонтальные слойки (поперечные мостики). Слойки сложены тончайшенаслоенным тонкокристаллическим апатитом, не отличаясь от оболочек фосфатных оолитов. х 10, николи II.
- Фиг.3. Этот же шлиф, участок через среднюю часть столо́ика строматолита (см. фиг.5, табл.І). Чередуются слойки из тонкокристаллического апатита (светлое) и из афанитового фосфата (темное) с обильной примесью кремневых спикул. х 25, николи II.
- Фиг.4. Шлиф через фосфатные горизонтально наслоенные коркислойки в пеллетном фосфорите. Пеллеты имеют раскристаллизованную апатитовую оторочку и являются обломками афанитовых фосфатных микронаслоев строматолитовых построек. Месторождение Джилан, НФ. х 10, николи X.



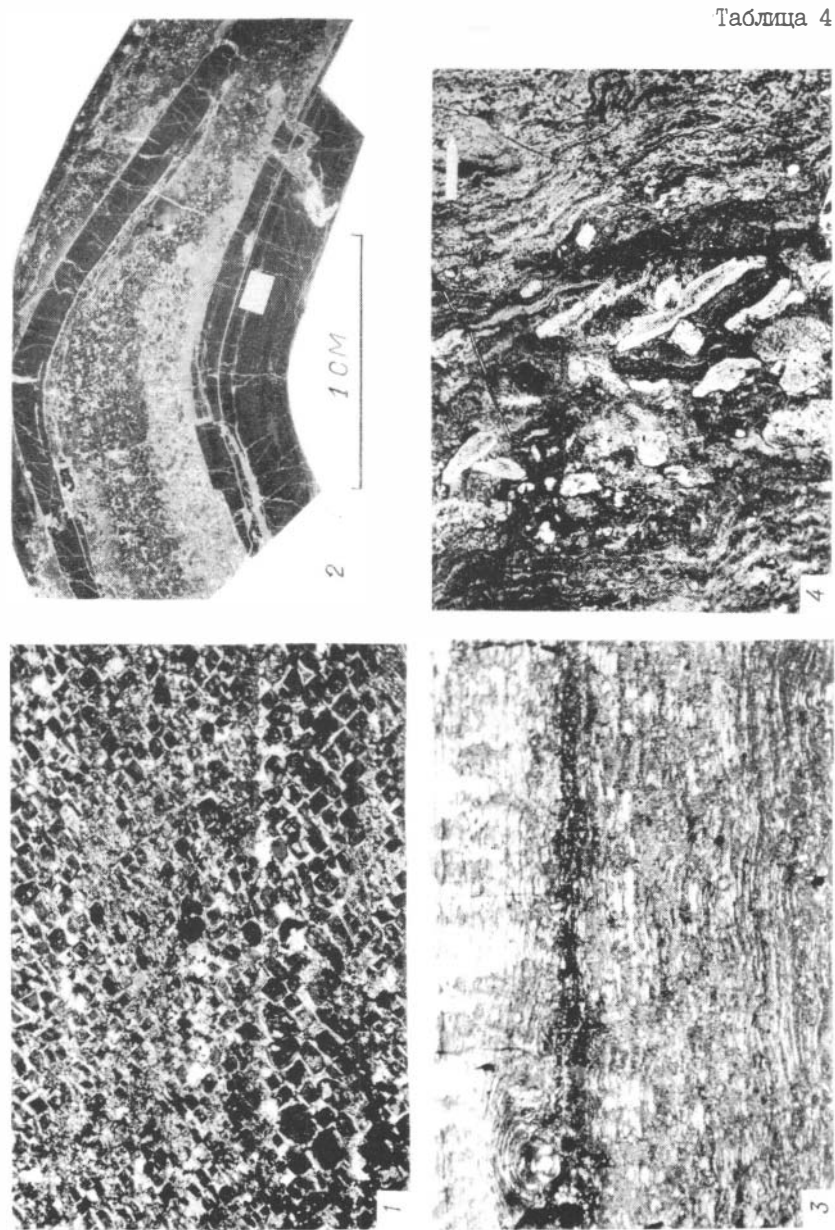
### Таблина З

- Фиг.І. Шлиф через стратиформную фосфатную микростроматолитовую постройку с включениями фосфатных оолитов и пеллет, кремневых спикул. Тонкокристаллические фосфатные микрослойки надстраивают оболочки фосфатных оолитов, являясь их стратиформным продолжением (стрелки). Месторождение Тьесай, НФ. х 20, николи II.
- $\Phi$ иг.2. То же, что и на  $\Phi$ иг.I: микростроматолитовие  $\Phi$ ос $\Phi$ атные корки-слойки с включениями  $\Phi$ ос $\Phi$ атных оолитов и пеллет. Месторождение Тьесай, нижний интервал  $\Phi$ 4. х 30, николи II.
- фиг.3. Негативное фото шлифа из НФ месторождения Джетымтал. Фосфатные строматолитовые покровы (темные тонкополосчатые) чередуются с механ: чески накопленным материалом пизолитами и оолитами с фосфатными или карбонатными ядрами, с "полостями" (светлое), заполненными ожелезненным карбонатом. х 2, николи II.
- Фиг.4. Позитивное фото участка этого же шлифа (см. рамку на фиг.3). Корошо видно строение фосфатных корок-слойков (темное). Черное ожелезненный карбонат. х IO, николи II.



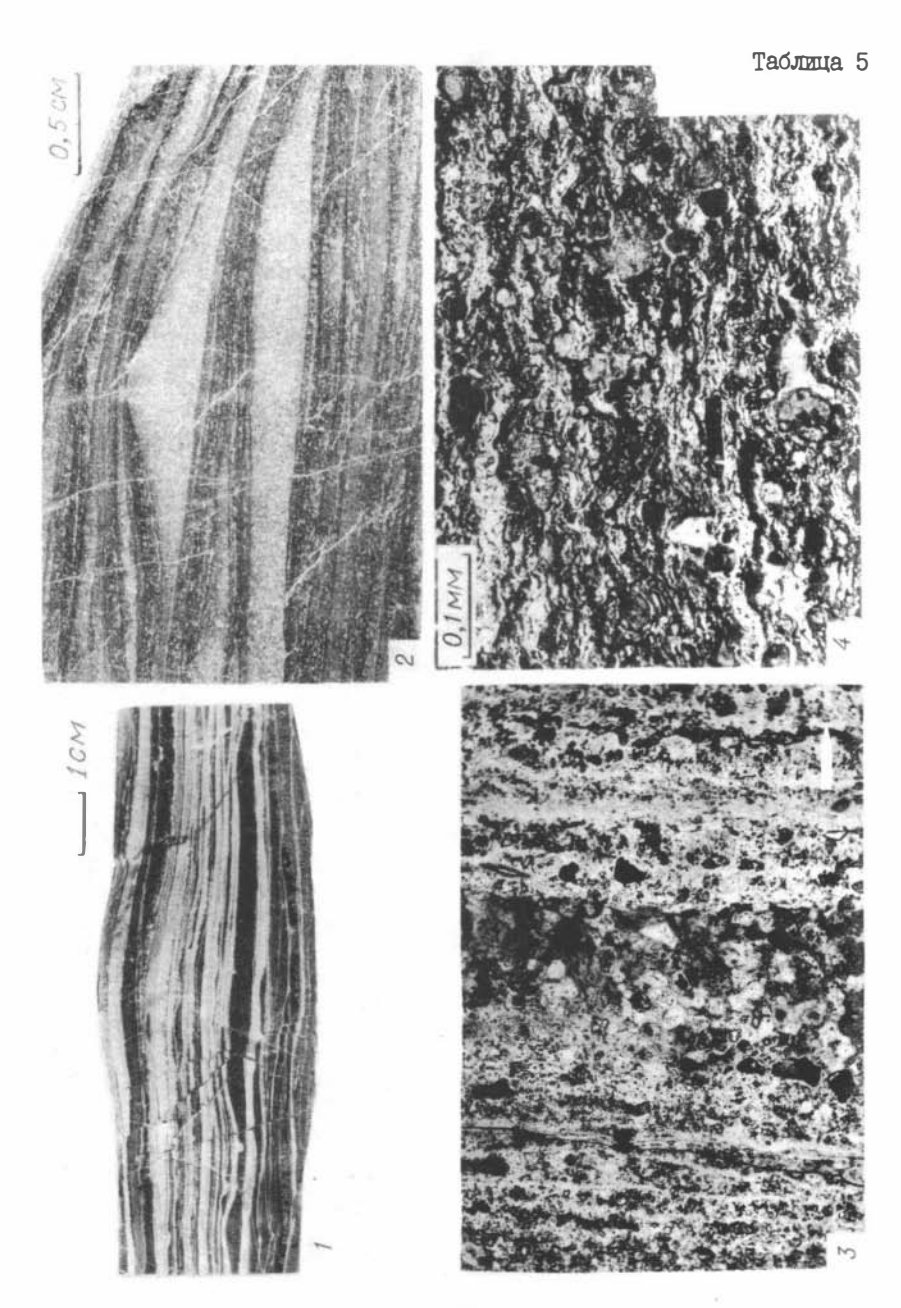
### Таблица 4

- Фиг.І. Шлиф из фосфорита со строматолитовой текстурой (см. рис.5 в тексте). Заметны послойные "просечки" тонкокристаллических фосфатных пленок (светлое). х 30, николи II.
- фиг.2. Негативное фото шлифа того же образца, что и на фиг.I участок с более ярко выраженным биогермным расположением тонкокристаллических тончайшенаслоенных фосфатных корок-наслоев (темное). Между ними карбонатизированный кремнистый спонголит (более светлое). Николи II.
- Фиг. 3. Позитивное микрофото части фосфатной корки-наслоя в шлифе; участок, показанный белым прямоугольником на фиг. 2. Видно, что корки имеют микростроматолитовое – микростолбчато-купольное строение. х 40, николи II.
- Фиг.4. Участок шлифа из линзослоя черного афанитового фосфорита I,5 см толщины в глауконит-полевошпатово-кварцевом песчанике КПС. Аксайская лощина, у р.Шабакты. Видна микроплойчатая водорослевая текстура фосфата (темное), включающего песчинки кварца и полевого шпата, крупные интракласты осветленного фосфата (белое). х 40, николи II.



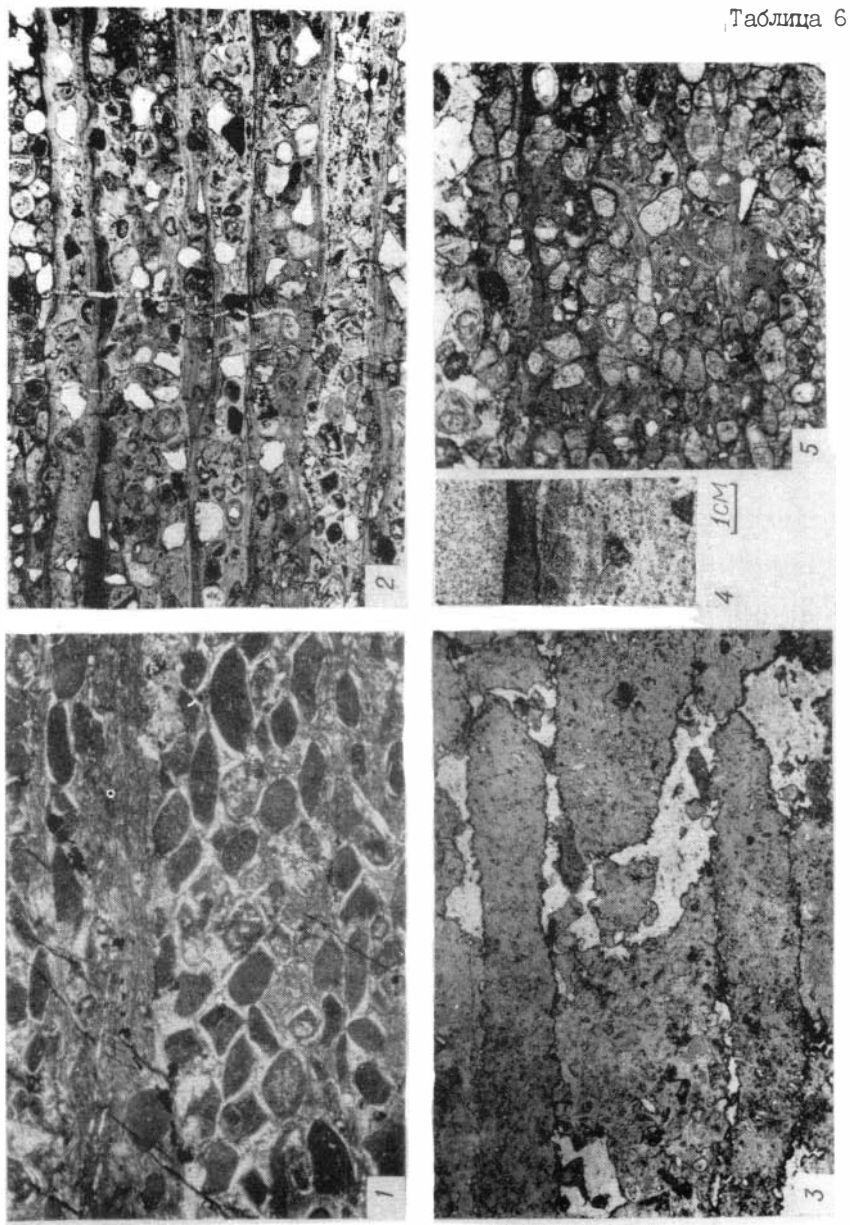
#### Таблица 5

- Фиг.І. Срез образца фосфатного алгал-ламинита из верхов НФ месторождения Тьесай. Светлое тонкокристаллические фосфатные корки-наслои; темное механически нанесенные слойки микрозернистого фосфорита.
- Фиг.2. Негативное фото шлифа из этого образца. Тонкие темние линии корки-наслои из тонкокристаллического фосфата, связывающие микрозернистый фосфорит. х 2, николи II.
- Фиг.З. Позитивное фото участка этого же шлифа. Корки-наслои тонкокристаллического апатита (относительно светлое), чередурщиеся с микрозернистым фосфоритом. х 15, николи II.
- Фиг. 4. Ший из аналогичного водорослевого сплошь фосфатного слойка тонкой плойчато-волокнистой текстуры с включениями мелких фосфатных пеллет, огибаемых ламинами. Месторождение Актас, НФ. Николи II.



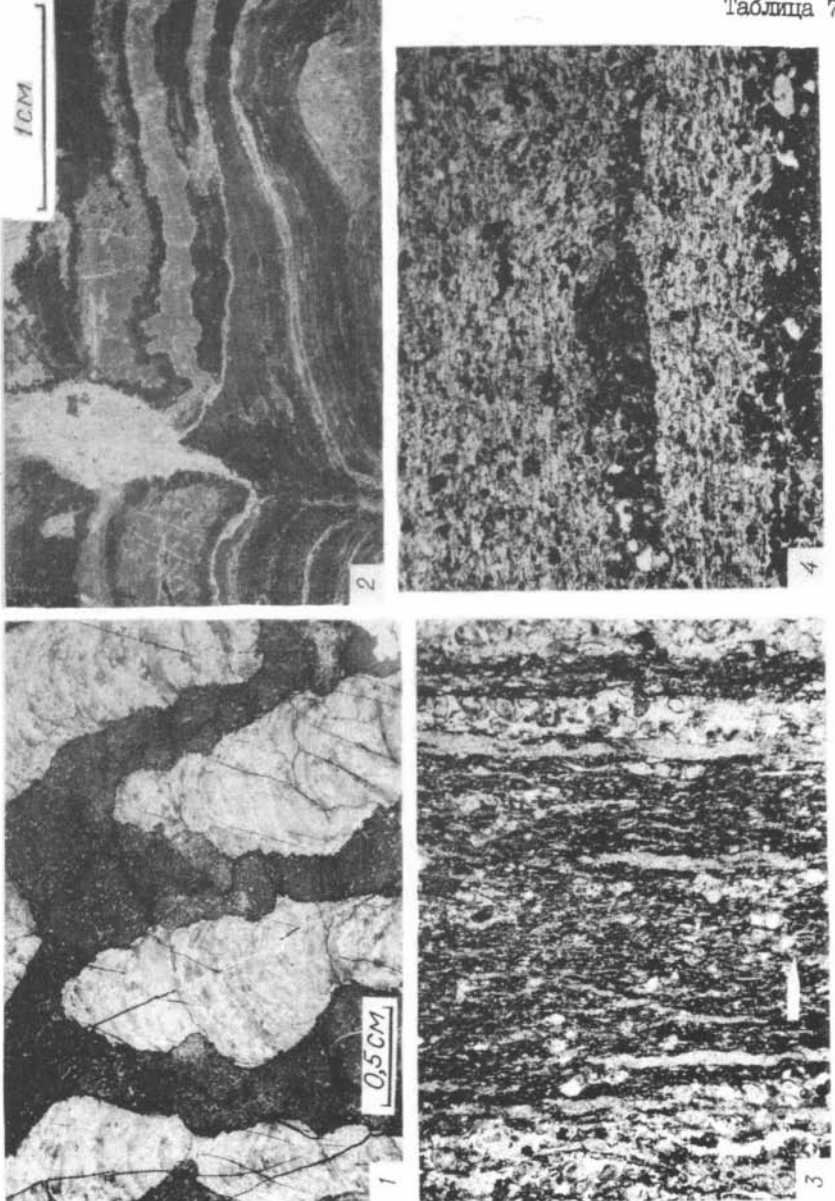
## Таблица, 6

- $\Phi$ ит.І. Шлиф из пеллетного фосфорита (НФ) с оторочками раскристаллизации цемента. В верхней части снимка тончайшеслоистие тонкокристаллические фосфатные микростроматолитовые слойки ламиниты. Месторождение Джилан. х 10, николи X.
- Фит. 2. Шлиф фосфорита из верхней части ВФ месторождения Джанытас. Оолитово-зернистый фосфатный материал с примесью песчинок кварца (белое) в афанитовом фосфатном матриксе. Такие слойки чередуются с более тонкими корками-наслоями тонкораскристаллизованного фосфата. Стратиформная микростроматолитовая постройка. х 20, николи II.
- Фиг.3. Шлиф из НФ месторождения Тьесай. Плоские, корродированные кремне земом (светлое) интракласты фосфатных строматолитовых наслоев с включениями кремневых спикул. В середине интракласт зернистого фосфорита на афанитовом фосфатном цементе. х 25, николи II.
- $\Phi$ иг.4. Сечение тонкого биострома (черное) в оолитово-зернистом фосфорите из В $\Phi$  месторождения Джанытас. Срез образца.
- Фиг. 5. Шлиф через черный фосфатный слоек в образце, показанном на фиг. 3. Фитолит представлен зоной базального афанитового фосфатного матрикса зернистого фосфорита, содержащего обломки минерализованных микрослоевищ (таллусов). х 40, николи II.



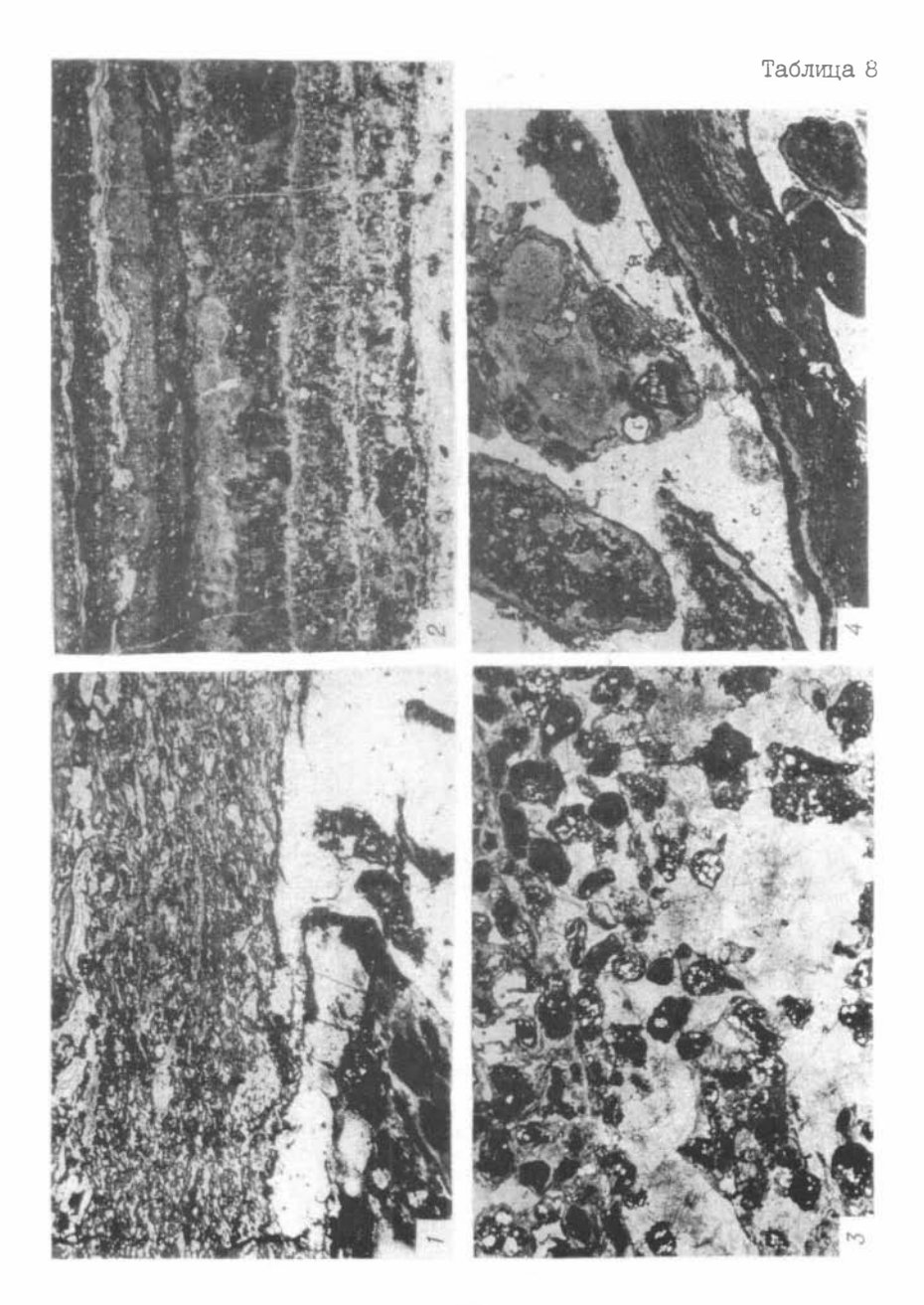
#### Таблина 7

- Фиг.І. Шлиф из слоя чичканской свити, северо-западная часть бассейна Каратау. Кремнистие столбчатые строматолити в доломитовом матриксе, включающем обрывки более раскристаллизованных окремненных нитей. Столбики имеют типичную выпукло-слоевищную текстуру строматолитовых построек. Темное в них слабо поляризующее гидрослюдисто-кремнистое вещество, светлое раскристаллизованный аллотриоморфный мелкозернистый агрегат кварца и халцелона. Николи II.
- Фит. 2. Негативное фото шлифа из "базального фосфорита" месторождения Карашат с типичной микростроматолитовой текстурой. Темное кремнистые слойки, частично послойно карбонатизированные (светлое). В межстолбиковом карбонатном заполнении фосфатные зерна. Николи II.
- Фиг.3. Шлиф из породы в нижней части КГ на месторождении Джанытас. Микрослойки фосфата (светлые "червячки") в водорослевой глинисто-кремнисто-фосфатной массе с включениями отдельных зерен фосфата. х 15, николи II.
- Фиг.4. Шлиф. Слойки-примазки микрозернистого фосфата и его отдельные зерна (черное) в кремнистой массе (светлое) с водорослевой текстурой. х 15, николи II.



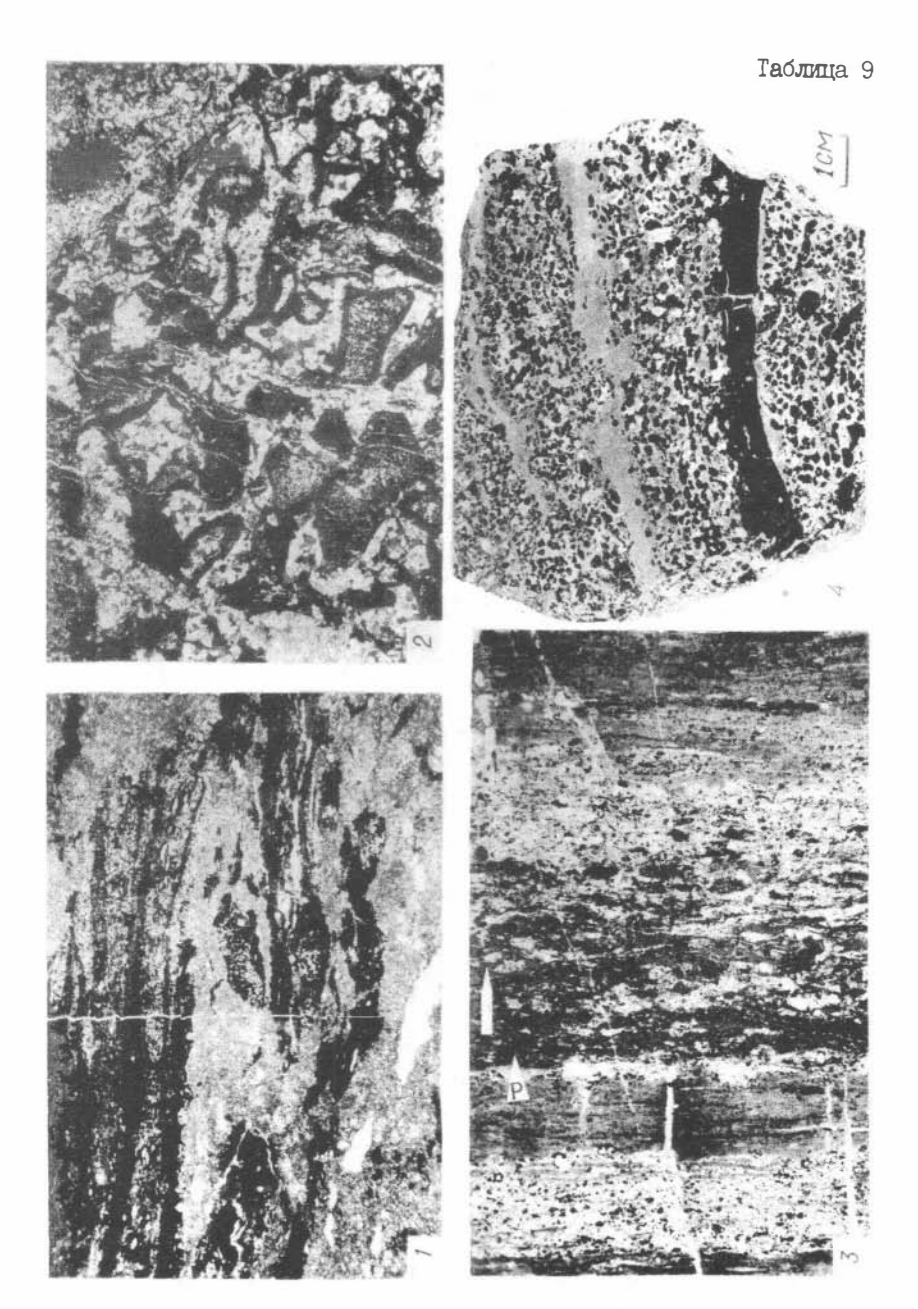
## Таблица 8

- Фиг.І. Шлиф из образца фосфорита формации Тал, показанного на рис.9. Водорослевая микротекстура фосфатного наслоя строматолитовой постройки. Черное фосфат, светлое карбонатизированные участки. х 24, николи II.
- Фиг. 2, 3. Два фото участков шлифа из стратиформной фосфатной строматолитовой постройки, формация Тал: 2 чередование фосфатных слойков с водорослевой текстурой и включениями карбонатизированных спикул, сферул, нитей водорослей (белое); фосфат черное, серое карбонат. х 30, николи II. 3 деталь одного из таких слойков, частично замещенного карбонатом. Слоек сложен водорослевыми комками (черное) онкоидами, частично окварцованними. х 30, николи II.
- Фит.4. Шлиф из гравелитового фосфорита месторождения Та-малык (Кузнецкий Алатау). Интракласты фосфатных слойков строматолитов с водорослевой текстурой в кварцевом матриксе мозаичной структуры. х 30, николи II.



#### Таблина 9

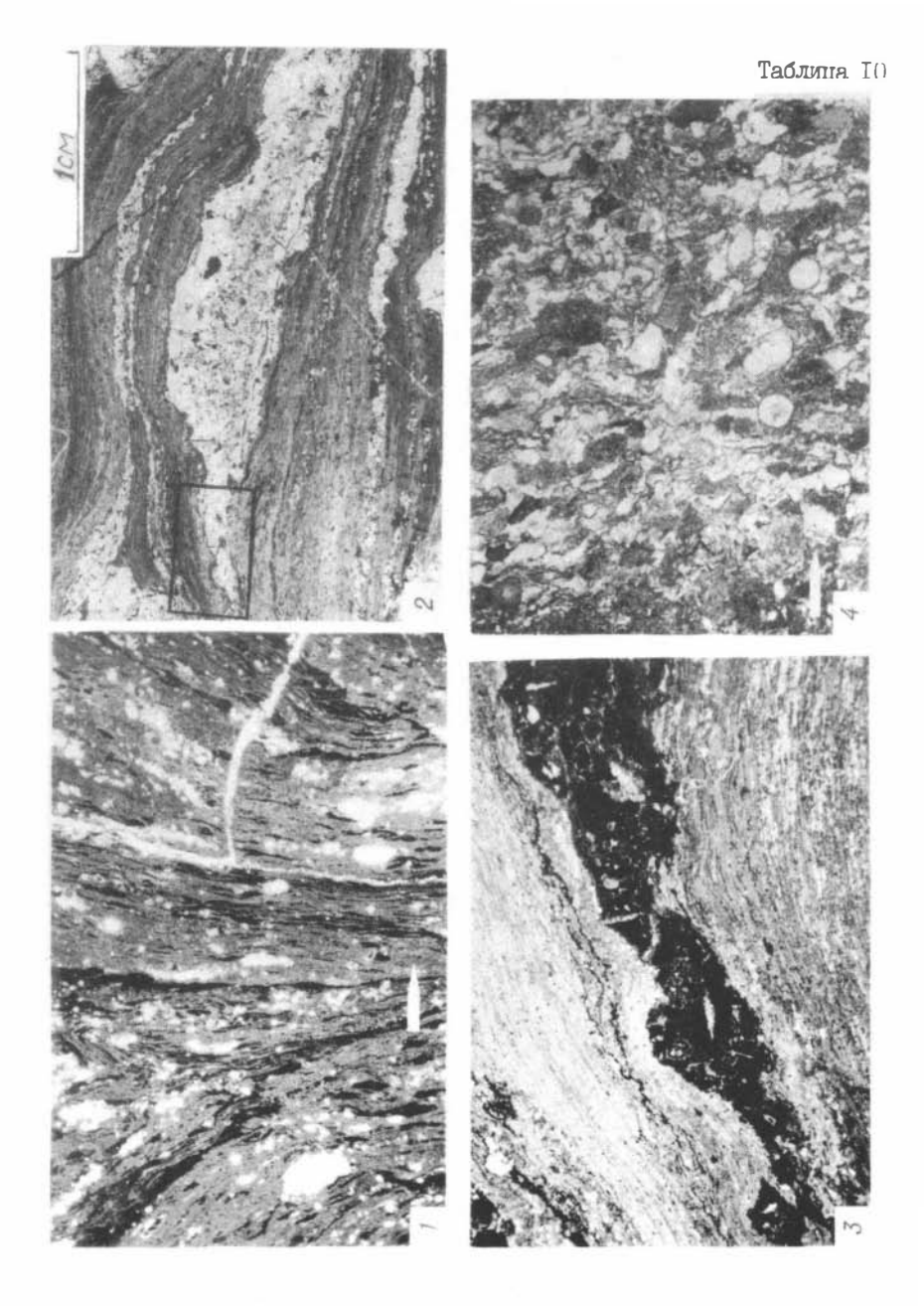
- Фит. I. Шлиф из карбонатизированного фосфатного фитолита. Темное фосфатные слоевища с водорослевой текстурой и их реликты; белое кварц, серое карбонат. Кутень—Булукское фосфоритопроявление, Батеневский кряж. х 20, николи II.
- Фиг.2. Шлиф из фосфорита с водорослево-онкоидной структурой. Цемент и ядра онкоидов карбонатные; черное - фосфат. Кызасское фосфоритопроявление, Горная Шория. х 15, николи II.
- Фиг.3. Шлиф через карбонатизированный фосфатный прослой (фосфат темное, в средней части) с водорослевой текстурой, ниже и выше слойки строматолитов кремнистого состава (серое). Фосфоритопроявление Юлия. Батеневский кряж. х 30, николи II.
- Фиг. 4. Срез образца через биостром с фосфатными водорослевыми слойками, разделенными карбонатными. Черное фосфат, светлое карбонат. Верхние части слоевищ карбонатизированы, с обособлением реликтов отдельных фосфатных элементов типа водорослевых комков, онкоидов. Месторождение Хубсугул, Монголия.



### Таблипа IO

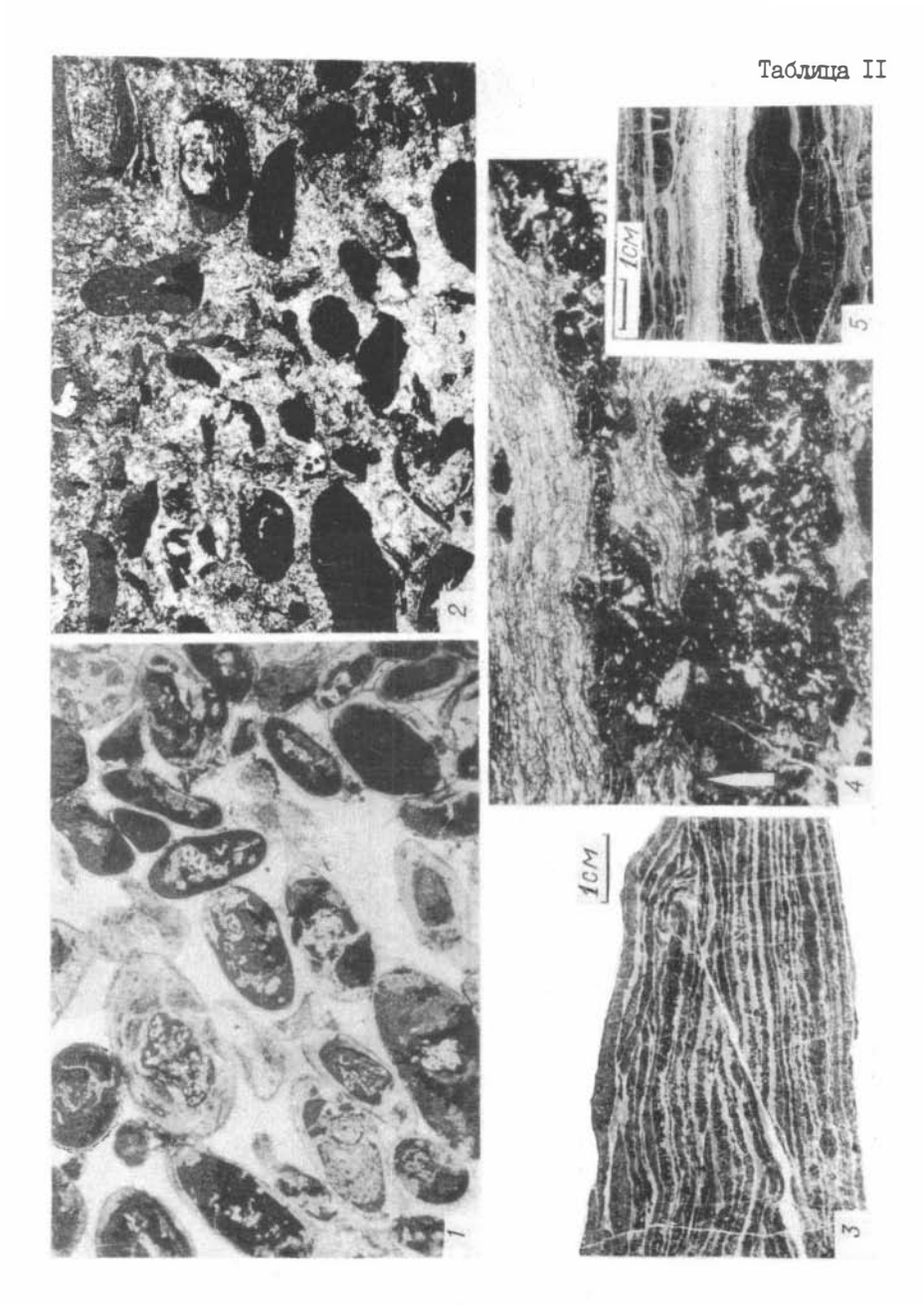
- Фит.І. Шлиф из черного афанитового фосфорита с водорослевой "волокнистой" текстурой, заметной благодаря черным пигментированным линзослойкам. Фосфат черное и серое. Белое окремненные и карбонатизированные участки. Месторождение Хубсугул, участок Урундуши. х 45, николи II.
- Фиг.2. Негативное фото шлифа. Тонкослоистый фосфорит месторождения Хубсугул. Светлое — онкоидно-интракластовый фосфорит; темное — строматолитовые слойки кремнистого состава. Николи II.
- Фиг. 3. Позитивное фото этого же шлифа. Увеличенное изображение участка, показанного на фиг. 2 рамкой. Строматолитовая текстура кремнистых слойков (серое) с фосфатными сферулами и комками (черное), а также интракластами, образующими присыпки между кремнистыми слойками. х IO, николи II.
- Фиг.4. Шлиф из слойка черного фосфорита месторождения Джин-хайн-Нуру (ХФБ) с водорослевой текстурой и вылючениями фосфатных афанитовых интракластов, водорослевых сферул, микронаслоев извилистых очертаний.  $\times$  40, николи II.

5.0



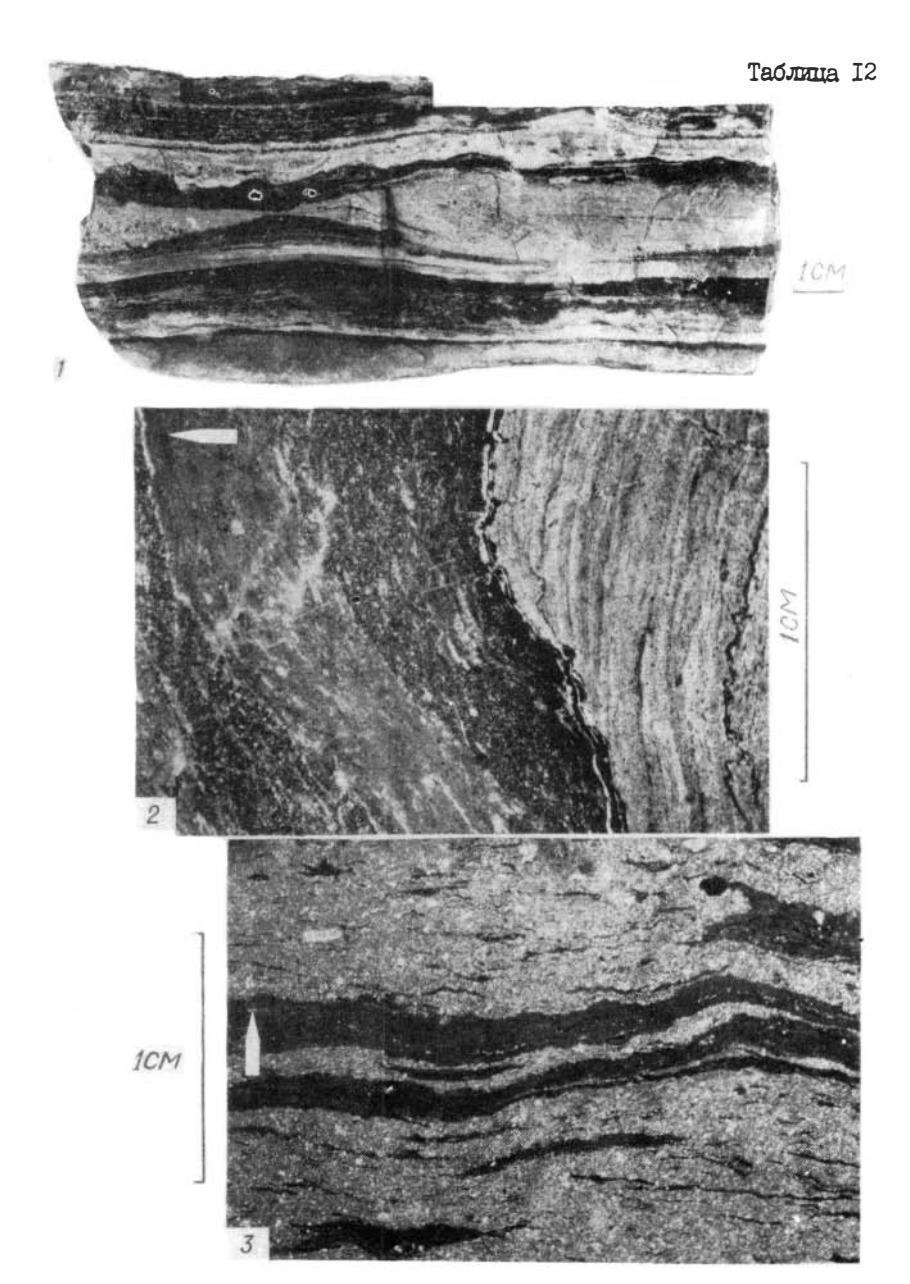
### Таблица II

- Фиг.І. Шлиф из фосфорита месторождения Бурэнхан (ХФБ). Фосфатные онкоиды с водорослевой текстурой, проявленной благодаря карбонатизации. Цемент кварцевый. Онкоиды окружены тонкой каймой щелочкой апатита, возникшего за счет вытесненного при окварцевании фосфата. х 40, николи II.
- Фиг.2. Шлиф из фосфорита месторождения Харанур (Восточный Саян). Водорослевый (онколитовый) фосфорит. Фосфатные фитолиты существенно замещены карбонатом (светлое). х 40, николи II.
- $\varphi$ иг.3. Срез образца из тонконаслоенного фосфатного биострома.  $\varphi$ осфорит "нижнего пласта" участка Онголигнур Хубсугульского месторождения ( $X\Phi$ Б). Черное  $\varphi$ осфатные наслои, светлое карбонатные (образец  $A. \varphi$ .Георгиевского).
- чиг.4. Шлиф из этого же образца. Видно сложное стустковоинтракластовое строение черных фосфатных наслоев с сечениями карбонатизированных (белое) водорослевых нитей и тонкая "волокнистая" строматолитовая текстура межфосфатных карбонатных наслоев. х 40, николи II.
- чиг.5. Срез кремнистого строматолита. Черное линзослойки сплошного кремня, светлое — тончайшеволокнисто-слоистне фосфатные слойки с типично строматолитовой текстурой. Белое — в середине — карбонатизированный слой. КГ, Каратау, месторождение Аксай.



# Таблица I2

- Фиг.І. Кремнистие водорослевие слойки (черное) в доломите (светлое). Срез образца из мартюхинской свити Батеневского кряжа,  $\Lambda CO$ .
- Фиг. 2. Шлиф из этого же образца: кремнистая микростроматолитовая куполовидная постройка (светлое), перекрытая чередованием карбонатных (наиболее темное) и бурых кремнистых слойков с примесью биодетрита (спикул?). Николи II.
- Фиг.3. Участок шлифа из показанного на фиг.I образца. Черное - кремневне алгал-ламиниты в карбонатной массе. Николи II.



# ОГЛАВЛЕНИЕ

I.	Постановка вопроса	5
2.	Известные фосфатные строматолиты и их геологическая позиция	7
3.	Фосфатные и кремнистые строматолитовые постройки фосфоритоносного бассейна Каратау	II
4.	Фосфатные и кремнистые строматолитовые постройки Алтае- Саянского и Хубсугульского фосфоритоносных бассейнов	32
5.	О стратиграфическом и палеогеографическом распределении строматолитовых фосфоритов Каратау	41
6.	Обсуждение результатов. Роль микроорганизмов в процессе фосфоритообразования	45
Резиме на английском языке		56
Литература		57
Фототаблицы и объяснения к ним		63

### CONTENTS

1. Introduction	5
2. Known stromatolitic phosphorites and the geological position of them	7
3. Phosphate and silicious stromatolitic buildups of Karatau phosphorite-bearing basin	II
4. Phosphate and silicious stromatolitic buildups of Altay-Sayan and Khubsugul phosphorite-bearing basins	32
5. About stratigraphic and paleaogeographic distribution of stromatolitic phosphorites of Karatau	41
6. Discussion. The role of microorganisma in the origin of phosphorites.	45
Abstract (in Englich)	56
References	
Illustrations (photo-tables)	

Темат. план выпуска самостоят. изданий СО АН СССР, 1988 г. (монографии), поз.20

Эрик Аршавирович ЕГАНОВ

ФОСФОРИТООБРАБОВАНИЕ И СТРОМАТОЛИТЫ

Ответственный редактор Евгений Максимович Хабаров

Утверждено к печати Институтом геологии и геофизики СО АН СССР

# Редакторы

Л.А.Довгаль, З.В.Белоусова

Технический редактор Н.Н.Александрова

Подписано к печати 29.02.88. МН 09126. Бумага 60х84/16. Печ.л.5,75. Уч.—изд.л.4,75. Тираж 600. Заказ I28. Дена 35 коп.

Институт геологии и геофизики СО АН СССР Новосибирск, 90. Ротапринт.